МЕЖГОСУДАРСТВЕННОЕ ОБРАЗОВАТЕЛЬНОЕ УЧРЕЖДЕНИЕ ВЫСШЕГО ОБРАЗОВАНИЯ «БЕЛОРУССКО-РОССИЙСКИЙ УНИВЕРСИТЕТ»

Кафедра «Физические методы контроля»

ЭЛЕКТРОТЕХНИКА И ЭЛЕКТРОНИКА

Методические рекомендации к лабораторным работам для студентов специальности 6-05-0715-03 «Автомобили, тракторы, мобильные и технологические комплексы» дневной и заочной форм обучения



УДК 621.3 ББК 31.2:32.85 Э45

Рекомендовано к изданию учебно-методическим отделом Белорусско-Российского университета

Одобрено кафедрой «Физические методы контроля» «16» апреля 2025 г., протокол № 8

Составитель ст. преподаватель И. А. Черкасова

Рецензент канд. техн. наук, доц. Н. В. Герасименко

Методические рекомендации к лабораторным работам предназначены для студентов специальности 6-05-0715-03 «Автомобили, тракторы, мобильные и технологические комплексы» дневной и заочной форм обучения.

Учебное издание

ЭЛЕКТРОТЕХНИКА И ЭЛЕКТРОНИКА

Ответственный за выпуск А. В. Хомченко

Корректор А. А. Подошевко

Компьютерная верстка Е. В. Ковалевская

Издатель и полиграфическое исполнение: Межгосударственное образовательное учреждение высшего образования «Белорусско-Российский университет». Свидетельство о государственной регистрации издателя, изготовителя, распространителя печатных изданий № 1/156 от 07.03.2019. Пр-т Мира, 43, 212022, г. Могилев.

© Белорусско-Российский университет, 2025

Содержание

Введение	4
1 Лабораторная работа № 1. Техника безопасности при прохождении	
лабораторных работ. Изучение лабораторного оборудования	5
2 Лабораторная работа № 2. Исследование режимов работы и методов	
расчета линейных цепей постоянного тока с одним источником питания	6
3 Лабораторная работа № 3. Исследование режимов работы и методов	
расчета линейных цепей постоянного тока с двумя источниками питания	9
4 Лабораторная работа № 4. Определение параметров и исследование	
режимов работы электрической цепи переменного тока с последователь-	
ным соединением катушки индуктивности, резистора и конденсатора	10
5 Лабораторная работа № 5. Исследование режимов работы линии	
электропередачи переменного тока при изменении коэффициента мощно-	
сти нагрузки	13
6 Лабораторная работа № 6. Определение параметров и исследование	
режимов работы трехфазной цепи при соединении потребителей звездой	17
7 Лабораторная работа № 7. Определение параметров и исследование	
режимов работы трехфазной цепи при соединении потребителей тре-	
угольником	21
8 Лабораторная работа № 8. Исследование процесса зарядки конденса-	
тора от источника постоянного напряжения при ограничении тока с по-	
мощью резистора	23
9 Лабораторная работа № 9. Определение параметров и основных ха-	
рактеристик однофазного трансформатора	26
10 Лабораторная работа № 10. Исследование асинхронного трехфазного	
двигателя с короткозамкнутым ротором	31
11 Лабораторная работа № 11. Снятие характеристик полупроводни-	
кового диода и стабилитрона	37
12 Лабораторная работа № 12. Исследование работы логических эле-	
ментов и триггеров	41
Список литературы	47

Введение

В учебные планы подготовки инженеров неэлектротехнических специальностей входит ряд общеобразовательных дисциплин, к которым относится и курс «Электротехника и электроника».

Необходимость в усвоении базовой системы знаний, умений и навыков в данной области обусловлена широким использованием электромагнитных явлений, электрических аппаратов и электрических методов измерений.

В формировании этой системы знаний, умений и навыков большое значение имеют лабораторные занятия.

Целью электротехнических дисциплин является теоретическая и практическая подготовка инженеров неэлектротехнических специальностей в области электротехники и электроники в такой степени, чтобы они могли выбирать необходимые электротехнические устройства, электронные и электроизмерительные приборы, уметь их правильно эксплуатировать и составлять совместно с инженерами-электриками технические задания на разработку электрических частей автоматизированных установок для управления производственными процессами.

Лабораторные занятия по электротехнике и электронике имеют целью:

- закрепить теоретический материал;
- дать возможность подробно ознакомиться с устройствами и характеристиками наиболее важных электротехнических приборов, аппаратов, составляющих предмет лабораторной практики;
- помочь овладеть практическими способами управления электротехническими устройствами и настройки их на заданный режим;
- научить технике проведения экспериментального исследования физических моделей;
- научить выполнять определенные расчеты с использованием компьютерных программ;
- выработать умение выносить суждения о рабочих свойствах и степени пригодности исследованных и исследуемых устройств для решения тех или иных практических задач.

1 Лабораторная работа № 1. Техника безопасности при прохождении лабораторных работ. Изучение лабораторного оборудования

Цель работы: ознакомление с основными требованиями при проведении лабораторных работ; изучение оборудования, используемого при проведении лабораторных работ.

Работа в лаборатории электротехники, связанная с эксплуатацией электрооборудования, находящегося под напряжением, требует организации и строгого соблюдения мер безопасности. Вопросы безопасности отражаются в инструкциях по эксплуатации, которыми снабжено поставляемое оборудование. Характерным видом поражения, которым может подвергаться работник, является поражение электрическим током. Во избежание возможности поражения электрическим током при работе с электрооборудованием необходимо соблюдать следующие меры безопасности.

- 1 К выполнению лабораторной работы допускаются студенты, прошедшие обучение мерам безопасности с последующей проверкой знаний и зарегистрированные в соответствующем протоколе.
- 2 Студенту разрешается выполнение только той лабораторной работы, задание на которую выдал преподаватель.
- 3 Приступая к работе, студент обязан ознакомиться с методикой ее выполнения.
- 4 Сборка электрической схемы лабораторной работы, изменение в схеме, производятся при отключенном напряжении питания лабораторной работы и переведения всех выключателей в положение «отключено».
- 5 Переносное оборудование, необходимое для выполнения данной лабораторной работы (осциллографы, компьютеры, электроизмерительные приборы) обязательно заземляются согласно требованиям завода-изготовителя, что проверяется преподавателем в обязательном порядке.
- 6 Включение питания оборудования для выполнения лабораторной работы производится только после разрешения преподавателя.
- 7 Включение измерительных приборов в цепь следует производить только одной рукой, не касаясь металлических частей.
 - 8 При выполнении лабораторных работ в лаборатории запрещается:
- без разрешения преподавателя перемещать приборы и аппаратуру, выносить их из лаборатории;
- производить какие-либо работы по устранению неисправностей лабораторного оборудования;
 - оставлять без присмотра электроприборы, включенные в сеть;
- загромождать посторонними предметами рабочие места, находиться в лаборатории в верхней одежде.

9 При возникновении любой неисправности лабораторного оборудования студент обязан немедленно отключить его от электросети и сообщить об этом преподавателю.

Экспериментальная часть лабораторных работ выполняется на лабораторном стенде НТЦ-01.100. В корпусе стенда размещены: блок питания +24 В 0,5 А, +5 В 0,5 А; плата резистивного моста с регулируемым источником ЭДС; плата секундомера с разрешающей способностью 0,1 с; плата транзисторного реле времени; плата транзисторных усилителей; плата измерителя частоты вращения электродвигателей; плата тиристорного управляемого выпрямителя и широтно-импульсного преобразователя; автотрансформатор 0,16 кВт; асинхронный электродвигатель с короткозамкнутым ротором и электродвигатель постоянного тока независимого возбуждения.

На лицевой панели изображены электрические схемы объектов исследования. Там же установлены коммутационные гнезда, индикаторы цифровых приборов, а также органы управления, позволяющие изменять параметры элементов при проведении лабораторной работы.

2 Лабораторная работа № 2. Исследование режимов работы и методов расчета линейных цепей постоянного тока с одним источником питания

Цель работы: закрепление навыков расчета линейных электрических цепей с одним источником питания; исследование мостовой цепи постоянного тока.

2.1 Основные теоретические сведения

2.1.1 Мост постоянного тока — это сложная электрическая цепь, в которой четыре резистора R20, R22, R23, R1, называемых плечами, образуют замкнутый четырехугольник, в одну диагональ которого включается нагрузка R24, а в другую — источник постоянного тока (рисунок 2.1).

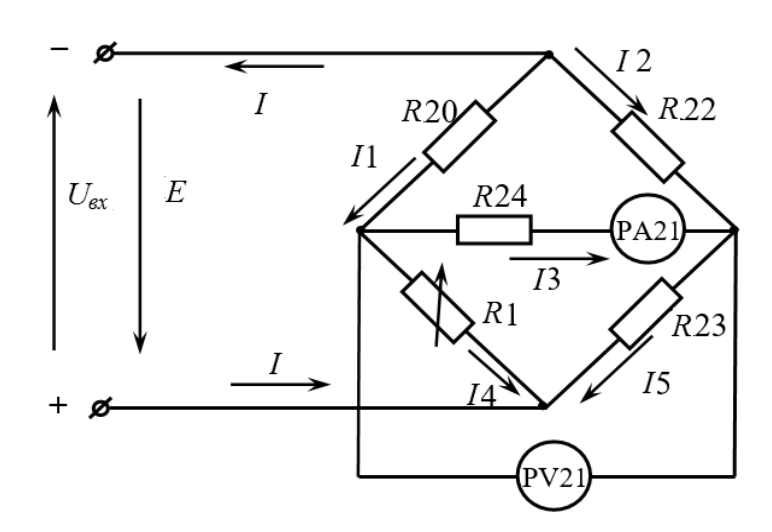


Рисунок 2.1 – Мост постоянного тока

2.1.2 Условие равновесия моста постоянного тока:

$$R1 \cdot R22 = R20 \cdot R23$$
.

Откуда

$$R1 = \frac{R20 \cdot R23}{R22}$$

при значении тока I3 = 0.

2.1.3 Величина сопротивления резистора R24 определяется по закону Ома:

$$R24 = \frac{U_{PV21}}{I3}$$
.

2.1.4 Рассчитать значение выходного напряжения $U_{\text{вых}}$ моста постоянного тока можно, используя метод эквивалентного генератора (рисунок 2.2):

$$U_{\rm gar} = I3 \cdot R24$$

где

$$I3 = \frac{U_{x.x.}}{R24 + R_{\kappa,3.}};$$

 $U_{x.x.}$ – напряжение холостого хода при разомкнутом резисторе R24 (SA13 в положении «3», рисунок 2.2),

 $R_{\kappa.3.}$ — сопротивление относительно точек разрыва моста при закороченном источнике входного напряжения.

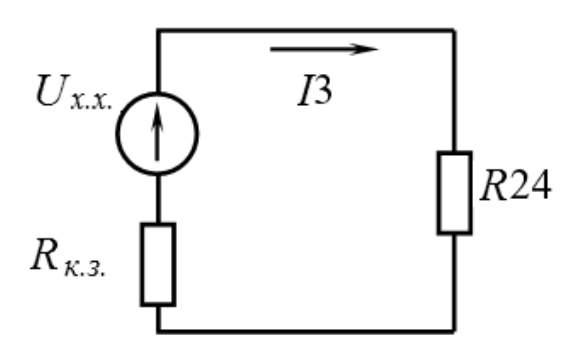


Рисунок 2.2 – Эквивалентная схема электрической цепи для расчета тока *I*3

2.1.5 Сопротивление $R_{\kappa.3.}$ можно определить экспериментально.

$$R_{\kappa.3.} = \frac{U_{x.x.}}{I_{\kappa.3.}}.$$

2.2 Исследуемые схемы

Для выполнения лабораторной работы собирается исследуемая мостовая схема (см. рисунок 2.3).

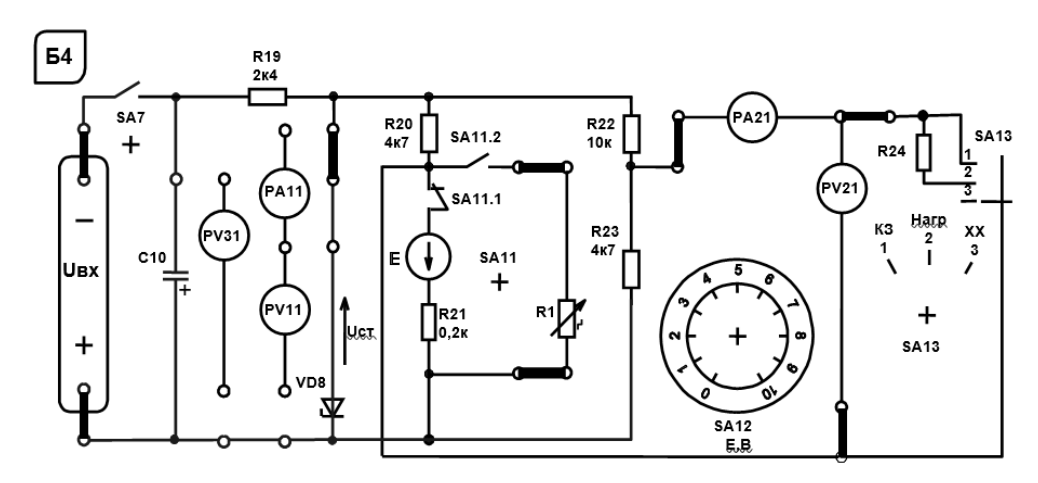


Рисунок 2.3 — Схема для экспериментального исследования электрической цепи постоянного тока с одним источником питания

Измерительный мост включается тумблером SA7.

Технические данные измерительного моста указаны на стенде.

2.3 Порядок выполнения лабораторной работы

- 2.3.1 Изучить схему измерительного моста. Рассчитать величину сопротивления резистора R1 из условия равновесия моста постоянного тока.
 - 2.3.2 Построить зависимость $U_{\text{вых}} = f(R1)$.
 - $2.3.3~{
 m При}$ максимальном $U_{
 m \tiny \it obst}$ рассчитать сопротивление резистора $\it R24$.
- 2.3.4 Методом эквивалентного генератора рассчитать величину выходного напряжения моста при значении сопротивления R1, заданном преподавателем.
 - 2.3.4.1 Экспериментально измерить ток $I_{\kappa,3}$ и рассчитать сопротивление $R_{\kappa,3}$.
- 2.3.4.2 Провести моделирование работы схемы (см. рисунок 2.1) в среде Multisim.
 - 2.3.4.3 Сделать выводы по результатам работы.

Содержание отчета

Отчет по работе должен содержать цель работы, схему моста постоянного тока, основные расчетные формулы, результаты эксперимента и моделирования, выводы по работе.

Контрольные вопросы

- 1 Охарактеризуйте мостовую схему постоянного тока.
- 2 Порядок расчета электрических цепей методом эквивалентного генератора напряжения.

3 Лабораторная работа № 3. Исследование режимов работы и методов расчета линейных цепей постоянного тока с двумя источниками питания

Цель работы: закрепление на практике основных методов расчета цепей постоянного тока с несколькими источниками постоянного напряжения; исследование моста постоянного тока с генераторным датчиком.

3.1 Основные теоретические сведения

3.1.1 Для расчета цепей постоянного тока с несколькими источниками напряжения широко используют метод контурных токов. Этот метод заключается в том, что вместо токов в ветвях определяются на основании второго закона Кирхгофа так называемые контурные токи (рисунок 3.1), замыкающиеся в контурах. Число уравнений, записываемых для контурных токов по второму закону Кирхгофа, равно числу независимых контуров.

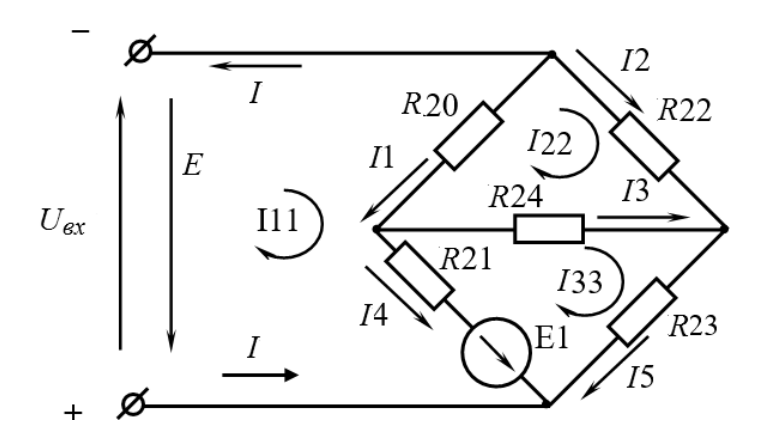


Рисунок 3.1 – Электрическая цепь постоянного тока с двумя источниками питания

Система уравнений для расчета контурных токов:

$$\begin{cases} I11 \cdot (R20 + R21) - I22 \cdot R20 - I33 \cdot R21 = E1 - E; \\ -I11 \cdot R20 + I22 \cdot (R20 + R24 + R22) - I33 \cdot R24 = 0; \\ -I11 \cdot R21 - I22 \cdot R24 + I33 \cdot (R21 + R23 + R24) = -E1. \end{cases}$$

I11, I22, I33 — контурные токи, I1, I2, I3, I4, I5, I — токи ветвей. Решив систему уравнений, определяют значение тока I3:

$$I3 = I33 - I22.$$

Выходное напряжение моста

$$U_{\text{\tiny GbIX}} = I3 \cdot R24.$$

3.2 Исследуемые схемы

Для выполнения лабораторной работы используется схема, в которой вместо резистора R1 включается источник E1 (тумблер SA11 выключен). Схема включается тумблером SA7. Величину ЭДС источника E1 устанавливают с помощью переключателя E1. Технические данные измерительного моста указаны на стенде.

3.3 Порядок выполнения лабораторной работы

- 3.3.1 Методом контурных токов рассчитать токи в ветвях I1, I2, I3, I4, I5 и величину выходного напряжения моста $U_{\text{вых}}$ при заданном ЭДС E1.
- 3.3.2 Снять экспериментально зависимость $U_{\text{вых}} = f(E1)$, изменяя E1 от 1 до 10 В. Сопоставить $U_{\text{вых}}$ для заданного значения E1 с расчетным.
 - 3.3.3 Провести моделирование работы схемы (см. рисунок 3.1) в среде Multisim.
 - 3.3.4 Сделать выводы по результатам работы.

Содержание отчета

Отчет по работе должен содержать цель работы, схему электрической цепи постоянного тока с двумя источниками питания, систему уравнений для расчета контурных токов, результаты расчета, моделирования и эксперимента, зависимость $U_{\text{вых}} = f(E1)$, выводы по работе.

Контрольные вопросы

- 1 Опишите метод расчета цепей постоянного тока с двумя источниками питания.
- 2 Порядок расчета методом контурных токов.

4 Лабораторная работа № 4. Определение параметров и исследование режимов работы электрической цепи переменного тока с последовательным соединением катушки индуктивности, резистора и конденсатора

Цель работы: определение параметров схемы замещения катушки индуктивности с магнитопроводом; изучение основных режимов работы, расчетов электрической цепи переменного тока при последовательном соединении R-, L-, C- элементов.

4.1 Основные теоретические сведения

4.1.1 Схема для изучения цепи переменного тока с последовательно соединенными резистивным, индуктивным и емкостным элементами приведена на рисунке 4.1.

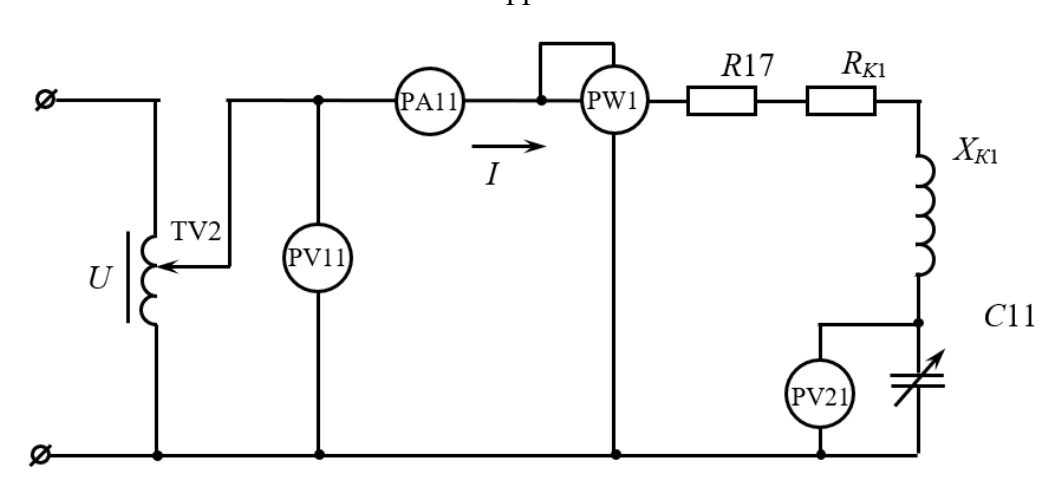


Рисунок 4.1 — Электрическая цепь переменного тока с последовательно соединенными R-, L-, C-элементами

Для определения параметров схемы замещения катушки индуктивности с магнитопроводом L_{K1} и R_{K1} в номинальном режиме $I_{H}=1,0$ А снимают показания приборов: PA11 — ток I_{H} через катушку; PW1 — активную мощность P, потребляемую катушкой; PV11 — напряжение U на катушке.

Зная показания приборов, определяют значение параметров схемы замещения катушки:

$$R_{\Sigma} = \frac{P}{I_H^2}; \quad Z_{\Sigma} = \frac{U}{I_H}; \quad L_{K1} = \frac{X_{K1}}{2\pi f}; \quad X_{K1} = \sqrt{Z_{\Sigma}^2 - R_{\Sigma}^2};$$

$$R_{K1} = R_{\Sigma} - R17; \quad Z_{K1} = \sqrt{R_{K1}^2 + X_{K1}^2},$$

где $R17 = 17 \text{ Ом}; f = 50 \Gamma$ ц.

4.1.2 Определение величины емкости C11, при которой в цепи наступает резонанс напряжений. Значение C11 определяется исходя из условия возникновения резонанса напряжений:

$$C11 = \frac{1}{2\pi f X_{K1}}.$$

4.1.3 Коэффициент мощности цепи

$$\cos \varphi = \frac{P}{U \cdot I}.$$

Пример построения векторной диаграммы цепи при активно-индуктивном характере цепи дан на рисунке 4.2.

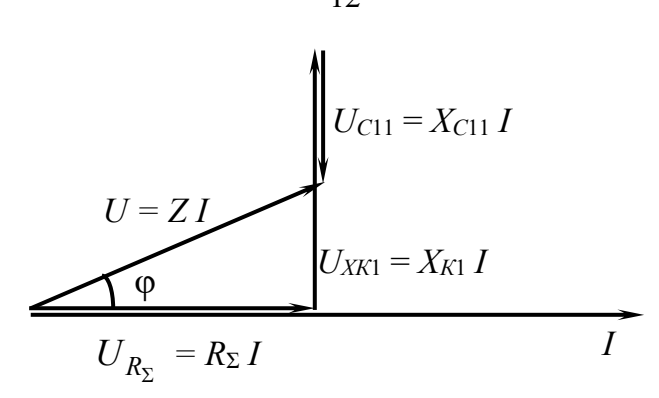


Рисунок 4.2 – Векторная диаграмма

4.2 Исследуемые схемы

Для определения параметров схемы замещения катушки индуктивности собирают схему, приведенную на рисунке 4.3. Номинальный ток $I_{H} = 1,0$ А выставляют с помощью лабораторного автотрансформатора TV2. Для исследования резонанса напряжения собирают схему, приведенную на рисунке 4.4.

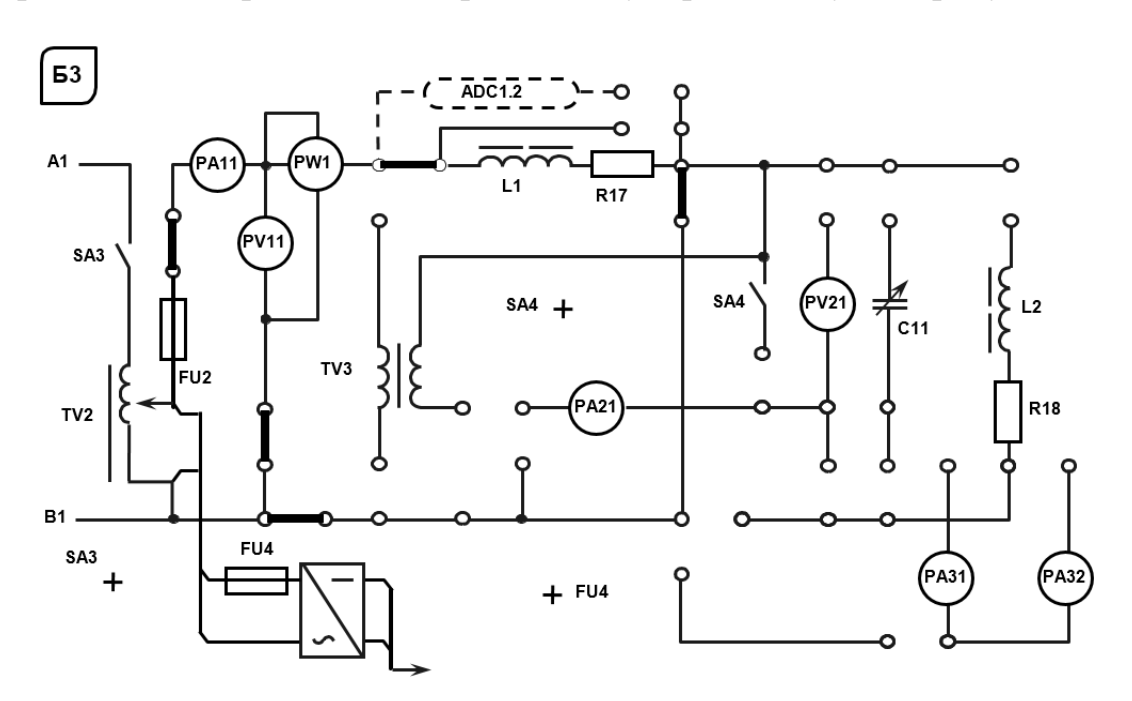


Рисунок 4.3 — Схема для экспериментального исследования параметров схемы замещения катушки индуктивности

4.3 Порядок выполнения лабораторной работы

- 4.3.1 Собрать на стенде схему (см. рисунок 4.3) для расчета параметров схемы замещения катушки индуктивности L_{K1} и R_{K1} для номинального режима работы $I_H = 1,0$ А, определить значения этих параметров.
- 4.3.2 Определить величину емкости C11 конденсатора, при которой в цепи наступает резонанс напряжений.
 - 4.3.3 Собрать на стенде схему (см. рисунок 4.4) для исследования схемы.

- 4.3.4 Снять зависимости I = f(C11) и $\cos \varphi = f(C11)$ при U_{\min} .
- 4.3.5 Построить векторную диаграмму напряжений и тока.
- 4.3.6 Провести моделирование работы схемы (см. рисунок 4.1) в среде Multisim.
- 4.3.7 Сделать выводы по результатам работы.

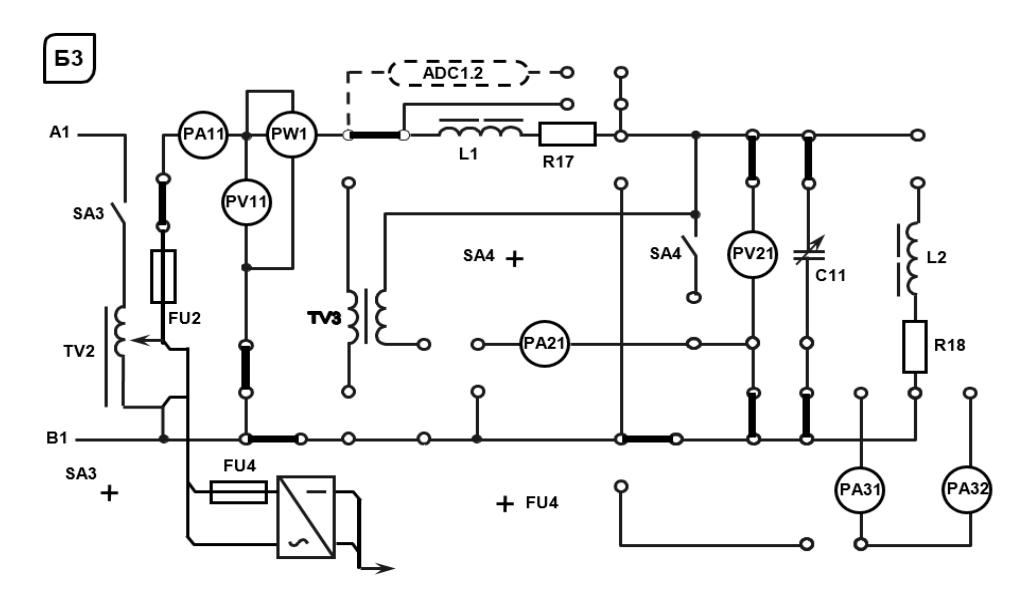


Рисунок 4.4 – Схема для экспериментального исследования резонанса напряжений

Содержание отчета

Отчет по работе должен содержать цель работы, схему исследуемой цепи переменного тока с последовательно соединенными R-, L-, C-элементами, основные расчетные формулы, результаты эксперимента и моделирования, зависимости I = f(C11) и $\cos \varphi = f(C11)$, векторную диаграмму напряжений и тока, выводы по работе.

Контрольные вопросы

- 1 Каково условие резонанса напряжений?
- 2 Чему равен коэффициент мощности цепи в режиме резонанса, почему?

5 Лабораторная работа № 5. Исследование режимов работы линии электропередачи переменного тока при изменении коэффициента мощности нагрузки

Цель работы: изучение эксплуатационных характеристик линии электропередачи (ЛЭП) переменного тока; определение параметров нагрузки; исследование режимов работы ЛЭП при изменении коэффициента мощности нагрузки.

5.1 Исследуемые схемы

Схема для изучения ЛЭП с нагрузкой в виде параллельно соединенных резистивным, индуктивным и емкостным элементами приведена на рисунке 5.1.

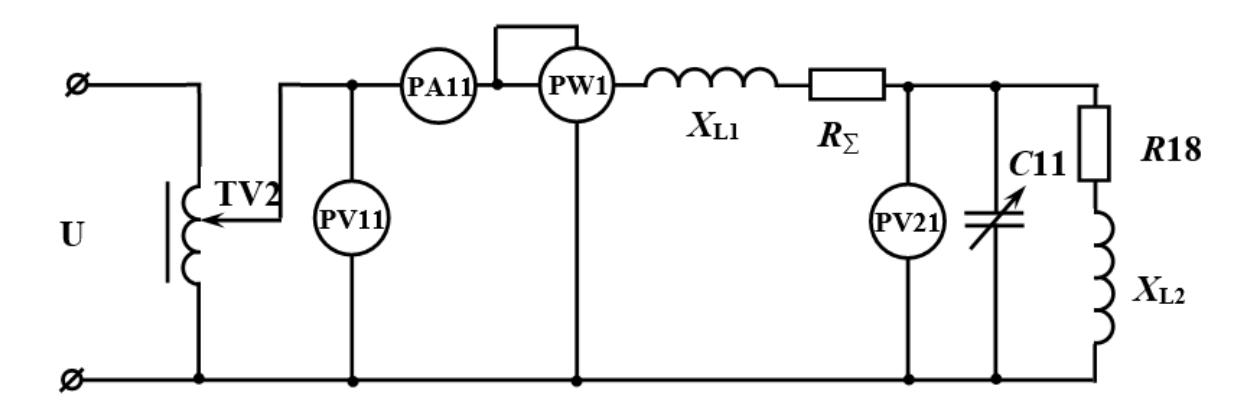


Рисунок 5.1 — Электрическая схема ЛЭП переменного тока с параллельно соединенными R-, L- и C-элементами в качестве нагрузки

Закоротив условно представленную ЛЭП (L_{K1} , R17), определяют параметры катушки L_{K2} , сопротивление R18 и соѕф при $U_{2H}=110$ В (схема дана на рисунке 5.2).

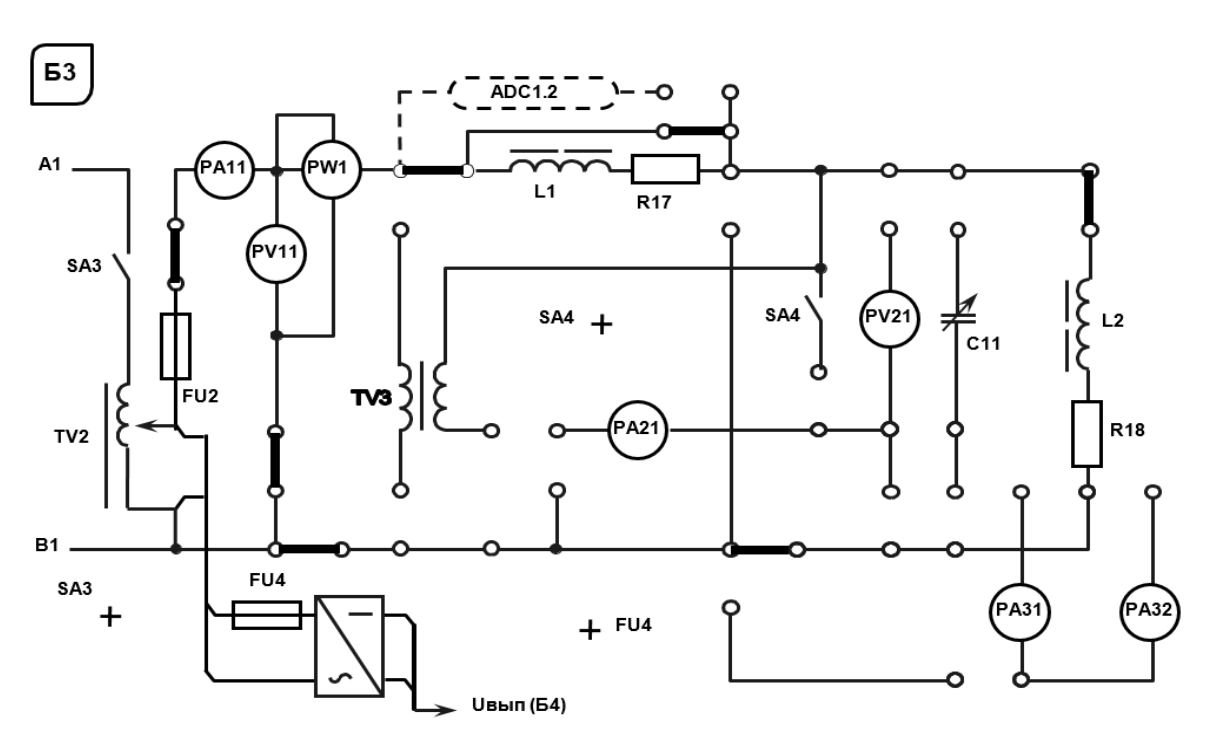


Рисунок 5.2 — Схема для экспериментального исследования параметров схемы замещения катушки индуктивности

Рассчитывают величину емкости C11 для повышения коэффициента мощности нагрузки, а также для выполнения условия резонанса токов и проверяют значение тока I экспериментально (схема дана на рисунке 5.3).

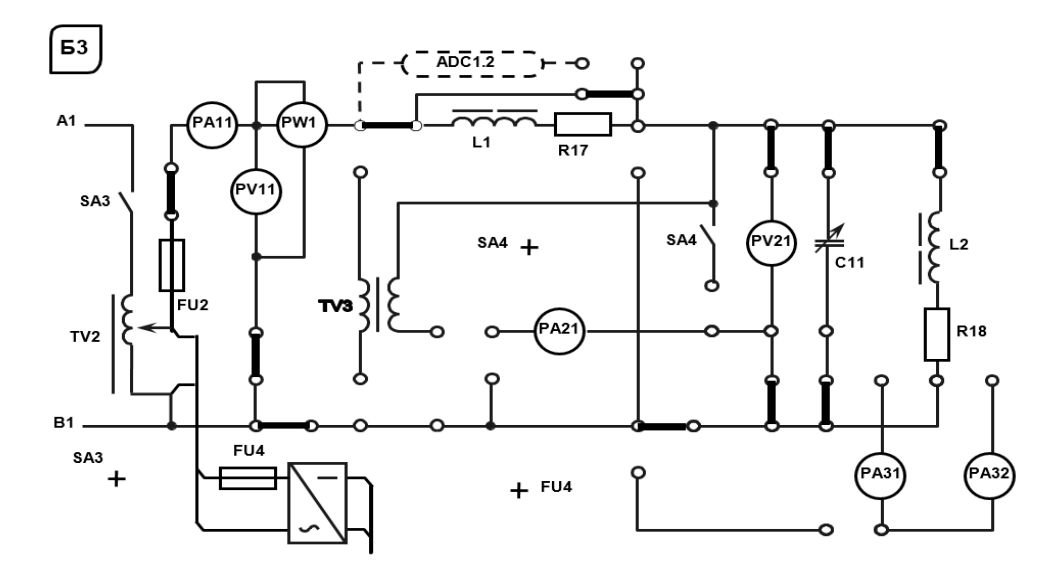


Рисунок 5.3 – Схема для экспериментального исследования резонанса токов

5.2 Основные теоретические сведения

5.2.1 Определение сопротивлений нагрузки для ЛЭП.

При расчете сопротивлений нагрузки (R18, X_{L2}) необходимо зашунтировать перемычкой ЛЭП / L_{K1} , R17/, установить автотрансформатором TV2 номинальное напряжение $U_{H} = 110$ В и снять показания приборов PW1 и PA11.

$$R18 = \frac{P}{I^2}; \quad Z_{L2} = \frac{U_{2H}}{I}; \quad L = \frac{X_{L2}}{2\pi f}; \quad X_{L2} = \sqrt{Z_{L2}^2 - R18^2}.$$

5.2.2 Определение коэффициента мощности соs ϕ_{2H} нагрузки:

$$\cos \varphi_{2H} = \frac{R18}{Z_{I2}}.$$

5.2.3 Расчет значения емкости C11 для повышения $\cos \varphi_{2n}$ до значения $\cos \varphi_{2TP}$:

$$C11 = \frac{P_2}{\omega U_{11}^2} (tg\phi_{2H} - tg\phi_{2TP}).$$

5.2.4 Расчет значения емкости C11, при котором в цепи наступит резонанс токов:

$$b_L = b_C; \quad \omega \cdot C11 = \frac{X_{L2}}{Z_{L2}^2}; \quad C11 = \frac{X_{L2}}{\omega \cdot Z_{L2}^2},$$

где b_L – реактивная проводимость катушки индуктивности, См,

$$b_{L} = \frac{X_{L2}}{Z_{L2}^{2}};$$

 b_C – реактивная проводимость конденсатора, См, b_C = ωC_2 .

5.2.5 Построение графика зависимости $\eta = f(C11)$. Расчет η при различных значениях C11 необходимо осуществлять по формуле

$$\eta = \frac{1}{1 + \frac{P_2 \cdot R_{\Sigma}}{U_{2H}^2 \cdot \cos^2 \varphi_2}},$$

где

$$\cos \varphi_2 = \frac{q}{y};$$

q – активная проводимость нагрузки, См,

$$q = \frac{R18}{Z_{L2}^2};$$

у – полная проводимость нагрузки, См,

$$y = \sqrt{\left(\frac{R18}{Z_{L2}^2}\right)^2 + \left(\frac{X_{L2}}{Z_{L2}^2} - \omega \cdot C_2\right)^2};$$

 P_2 – активная мощность, потребляемая нагрузкой, Вт,

$$P_2 = P - P_1 = P - I^2 \cdot (R17 + R_{K1});$$

P — показания ваттметра PW2, Вт.

5.3 Порядок выполнения лабораторной работы

- 5.3.1 Определить параметры схемы замещения катушки индуктивности. Зашунтировав ЛЭП и установив $U_{2H} = 110$ В, определить значения сопротивлений нагрузки X_{L2} , R18, а также коэффициент мощности нагрузки соѕ φ_{2H} .
- 5.3.2 Рассчитать значение емкости конденсатора C11 для повышения коэффициента мощности нагрузки до значения $\cos \phi_{2TP}$, заданного преподавателем.
 - 5.3.3 Изменяя емкость C11, снять в зависимость $\eta = f(C11)$.
- 5.3.4 Рассчитать значение емкости C11, при котором в цепи наступит резонанс токов, и проверить на стенде.
 - 5.3.5 Провести моделирование работы схемы (см. рисунок 5.1) в среде Multisim.
 - 5.3.6 Сделать выводы по результатам работы.

Содержание отчета

Отчет по работе должен содержать цель работы, схему исследуемой цепи переменного тока с параллельно соединенными R-, L-, C-элементами, основные расчетные формулы, результаты эксперимента и моделирования, зависимости I = f(C11) и $\cos \varphi = f(C11)$, выводы по работе.

Контрольные вопросы

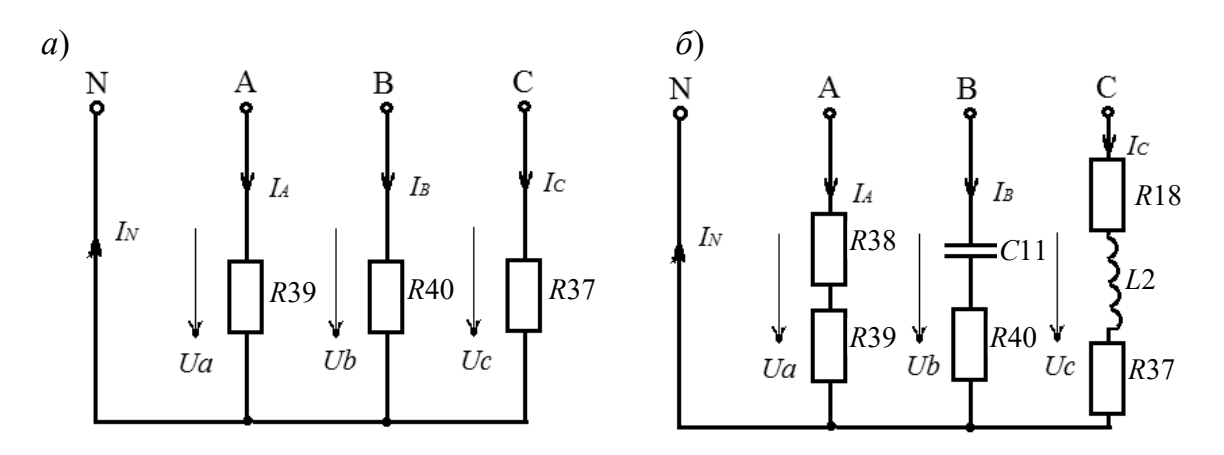
- 1 В какой цепи и при каких условиях возникает резонанс токов?
- 2 От каких параметров цепи зависит резонансная частота?

6 Лабораторная работа № 6. Определение параметров и исследование режимов работы трехфазной цепи при соединении потребителей звездой

Цель работы: исследование трехфазной цепи при соединении потребителей звездой; изучение методов расчета трехфазных цепей при соединении потребителей звездой.

6.1 Исследуемые схемы

В лабораторной работе исследуются трехфазные схемы с симметричной (рисунок 6.1, a) и несимметричной (рисунок 6.1, δ) нагрузками при наличии нейтрального провода и без него.



a — нагрузка симметричная; δ — нагрузка несимметричная

Рисунок 6.1 – Исследуемые трехфазные схемы

6.2 Основные теоретические сведения

6.2.1 Исследование симметричной резистивной нагрузки при наличии нейтрального провода.

Для получения симметричной нагрузки R37 = R39 = R40 необходимо перемычками закоротить следующие элементы: R38, C11, L_{K2} и R18 (рисунок 6.2).

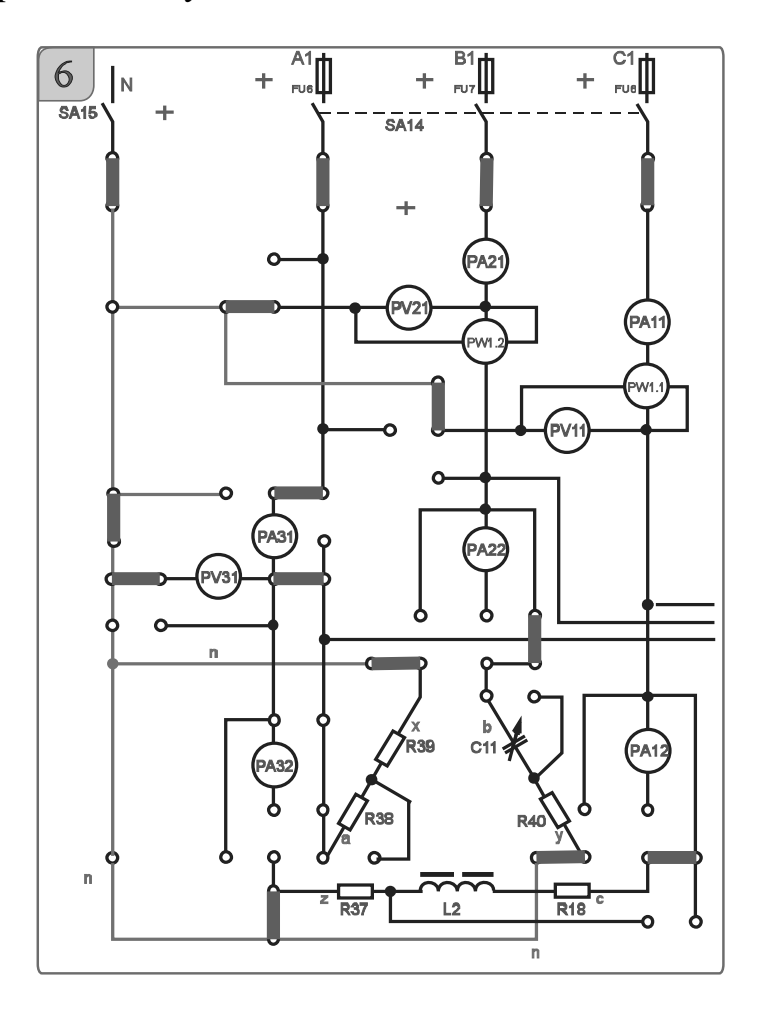


Рисунок 6.2 — Схема для экспериментального исследования трехфазной электрической цепи при соединении нагрузки звездой

Измерить фазные напряжения U_b и U_c при помощи вольтметров PV21, PV11 и фазные токи в фазах «В» и «С» при помощи амперметра PA21 и PA11. Убедиться в отсутствии тока в нейтральном проводе $I_N = 0$ (PA31). Определить значения сопротивлений резисторов по закону Ома:

$$R37 = \frac{U_C}{I_C}.$$

Мощность, потребляемую симметричной нагрузкой, найти по формуле

$$P = 3 \cdot I_C^2 \cdot R37.$$

6.2.2 Расчет значения емкости C11 для получения равномерной нагрузки:

$$Z_a = R38 + R39;$$

$$Z_b = \sqrt{R40^2 + X_{C11}^2};$$

$$Z_c = \sqrt{(R37 + R18)^2 + X_{L2}^2}.$$

Приняв $Z_a = Z_b = Z_c$, определяют значение C11 для получения равномерной нагрузки:

$$R40^2 + X_{C11}^2 = (R37 + R18)^2 + X_{L2}^2$$

где *R*18=59 Ом;

 $X_{L2} = 140 \text{ Om};$

$$X_{C11} = \sqrt{(R37 + R18)^2 + X_{L2}^2 - R40^2}$$
.

Откуда

$$C11 = \frac{1}{\omega \cdot X_{C11}}.$$

Значение сопротивления резистора R38 определяется из соотношения

$$R38 = Z_c - R39.$$

6.2.3 Исследование несимметричной равномерной нагрузки с нейтральным проводом (общая точка ваттметров соединена с нейтралью).

В этом случае

$$\dot{U}_{a} = \dot{U}_{b} = \dot{U}_{c}; \ \dot{I}_{A} = \frac{\dot{U}_{a}}{Z_{a}}; \ \dot{I}_{B} = \frac{\dot{U}_{b}}{Z_{b}}; \ \dot{I}_{C} = \frac{\dot{U}_{c}}{Z_{c}},$$

где $\dot{U}_a, \dot{U}_b, \ \dot{U}_c$ — фазные напряжения нагрузок,

$$\dot{U}_{a} = \dot{U}_{A}; \ \dot{U}_{b} = \dot{U}_{B}; \ \dot{U}_{c} = \dot{U}_{C}; \ I_{a} = I_{b} = I_{c}.$$

Ток в нейтральном проводе

$$\dot{I}_N = \dot{I}_A + \dot{I}_R + \dot{I}_C.$$

6.3 Порядок выполнения лабораторной работы

- 6.3.1 Исследовать экспериментально симметричную нагрузку с нейтральным проводом, измерив фазные токи I_A , I_B , I_C , напряжения U_a , U_b , U_c , и мощность нагрузки P, а также ток в нейтральном проводе I_N . Заполнить таблицу 6.1 (симметричная нагрузка).
 - 6.3.2 Рассчитать сопротивления фаз симметричной нагрузки (п. 6.2.1).
- 6.3.3 Рассчитать значения емкости C11 и сопротивления резистора R38 для обеспечения равномерной нагрузки (п. 6.2.2).
- 6.3.4 Исследовать равномерную нагрузку с нейтральным проводом, измерив фазные напряжения, мощность и ток в нейтральном проводе, подключив его тумблером SA15. Рассчитать комплексные значения токов в фазах A, B, C и определить ток в нейтральном проводе. Сравнить расчетные значения тока с экспериментальными. Заполнить таблицу 6.1 (равномерная нагрузка).

Таблица 6.1 – Результаты измерений

U_a ,	<i>U_b</i> (PV21),	<i>Uc</i> (PV11),	I_A ,	<i>I_B</i> (PA21),	<i>Ic</i> (PA11),	<i>I</i> _N (PA31),	Р,					
В	В	В	A	A	A	A	Вт					
	Симметричная нагрузка (эксперимент)											
	Моделирование											
Равномерная нагрузка (эксперимент)												
			Pa	асчет								
	Моделирование											
					_							

- 6.3.5 Построить векторную диаграмму токов и напряжений для равномерной нагрузки с нейтральным проводом.
 - 6.3.6 Провести моделирование работы схемы (см. рисунок 6.1) в среде Multisim.
 - 6.3.7 Сделать выводы по результатам работы.

Содержание отчета

Отчет по работе должен содержать цель работы, схемы трехфазной цепи при симметричной и несимметричной нагрузках, основные расчетные формулы, результаты эксперимента, моделирования и расчета (см. таблицу 6.1), векторную диаграмму напряжений и токов, выводы по работе.

Контрольные вопросы

- 1 Каково назначение нулевого провода?
- 2 Как вычислять мощность, потребляемую трехфазной цепью при соединении приемников звездой?

7 Лабораторная работа № 7. Определение параметров и исследование режимов работы трехфазной цепи при соединении потребителей треугольником

Цель работы: исследование трехфазной цепи при соединении потребителей треугольником; изучение методов расчета работы трехфазных цепей при соединении потребителей треугольником.

7.1 Исследуемые схемы

В лабораторной работе исследуются трехфазные схемы с симметричной, несимметричной и равномерной нагрузками при соединении потребителей треугольником (рисунок 7.1).

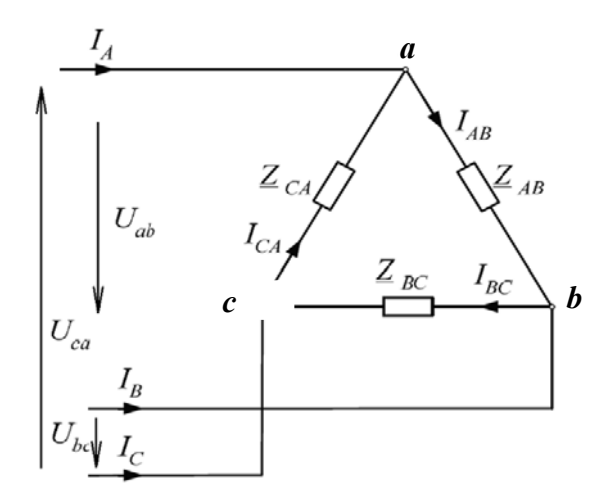


Рисунок 7.1 – Исследуемая трехфазная схема при соединении потребителей треугольником

7.2 Порядок выполнения лабораторной работы

- 7.2.1 Установить равномерную нагрузку во всех трех фазах (рисунок 7.2). Определить в активную мощность нагрузки и линейный ток в линии С нагрузки. Напряжение U_{ab} измерить прибором PV21, напряжение U_{bc} , U_{ac} прибором PV11.
- 7.2.2 Рассчитать комплексные значения фазных токов и определить линейный ток в линии С. Рассчитать активную мощность потребителя. Результаты вычислений сравнить с экспериментальными данными.

Ток в фазах определяют по закону Ома для каждой фазы:

$$\dot{I}_{AB} = \frac{\dot{U}_{AB}}{\underline{Z}_{AB}}; \dot{I}_{BC} = \frac{\dot{U}_{BC}}{\underline{Z}_{BC}}; \dot{I}_{CA} = \frac{\dot{U}_{CA}}{\underline{Z}_{CA}}.$$

Линейные токи определяют по первому закону Кирхгофа:

$$\dot{I}_{A} = \dot{I}_{AB} - \dot{I}_{CA}; \ \dot{I}_{B} = \dot{I}_{BC} - \dot{I}_{AB}; \ \dot{I}_{C} = \dot{I}_{CA} - \dot{I}_{BC}; \ \dot{I}_{A} + \dot{I}_{B} + \dot{I}_{C} = 0.$$

- 7.2.3 Построить векторную диаграмму токов и напряжений.
- 7.2.4 Провести моделирование работы схемы (см. рисунок 7.1) в среде Multisim.
- 7.2.5 Сделать выводы по результатам работы.

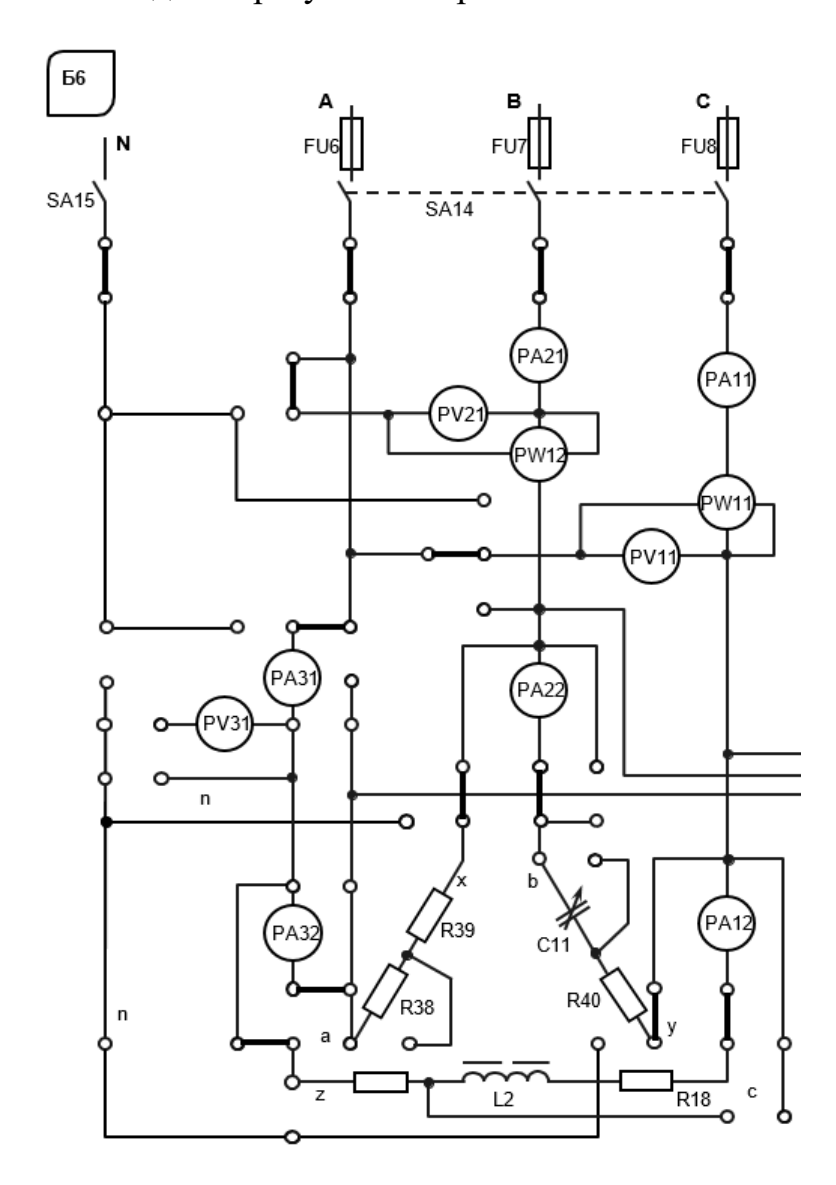


Рисунок 7.2 – Трехфазная электрическая цепь при соединении нагрузки треугольником

Содержание отчета

Отчет по работе должен содержать цель работы, схему трехфазной цепи, основные расчетные формулы, результаты эксперимента, моделирования и расчета, векторную диаграмму напряжений и токов, выводы по работе.

Контрольные вопросы

- 1 Расчет трехфазной цепи переменного тока при соединении треугольником с симметричной нагрузкой.
- 2 Как изменятся фазные токи при отключении одного из линейных проводов в симметричном приемнике?

8 Лабораторная работа № 8. Исследование процесса зарядки конденсатора от источника постоянного напряжения при ограничении тока с помощью резистора

Цель работы: изучение процесса изменения напряжения на конденсаторе при зарядке его от источника постоянного напряжения; закрепление навыков измерения напряжения компенсационным методом.

8.1 Основные теоретические сведения

Схема для исследования переходного процесса зарядки конденсатора C12 при ограничении тока с помощью сопротивления R1 приведена на рисунке 8.1.

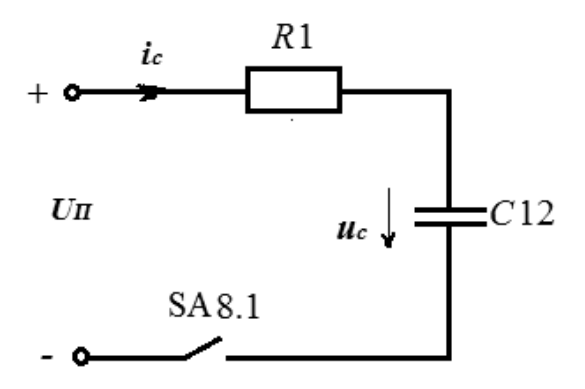


Рисунок 8.1 – Исследуемая схема зарядки конденсатора

При подключении конденсатора C12 к источнику питания $U_{\Pi UT}=24~\mathrm{B}$ закон изменения напряжения на C12 получают, решая дифференциальное уравнение вида

$$U_{\Pi MT} = R \cdot C \cdot \frac{du_C}{dt} + U_C.$$

Решение имеет свободную $A = e^{-t/\tau}$ и вынужденную $U_C = U_{\Pi U T}$ составляющие. Окончательно

$$U_C = U_{\Pi HT} \cdot (1 - e^{-t/\tau}),$$

где $\tau = R1 \cdot C12$;

A — постоянная интегрирования, определяется из начальных условий, $A = -U_{\Pi MT}$.

8.2 Исследуемые схемы

Схема для экспериментального исследования процесса заряда конденсатора представлена на рисунке 8.2.

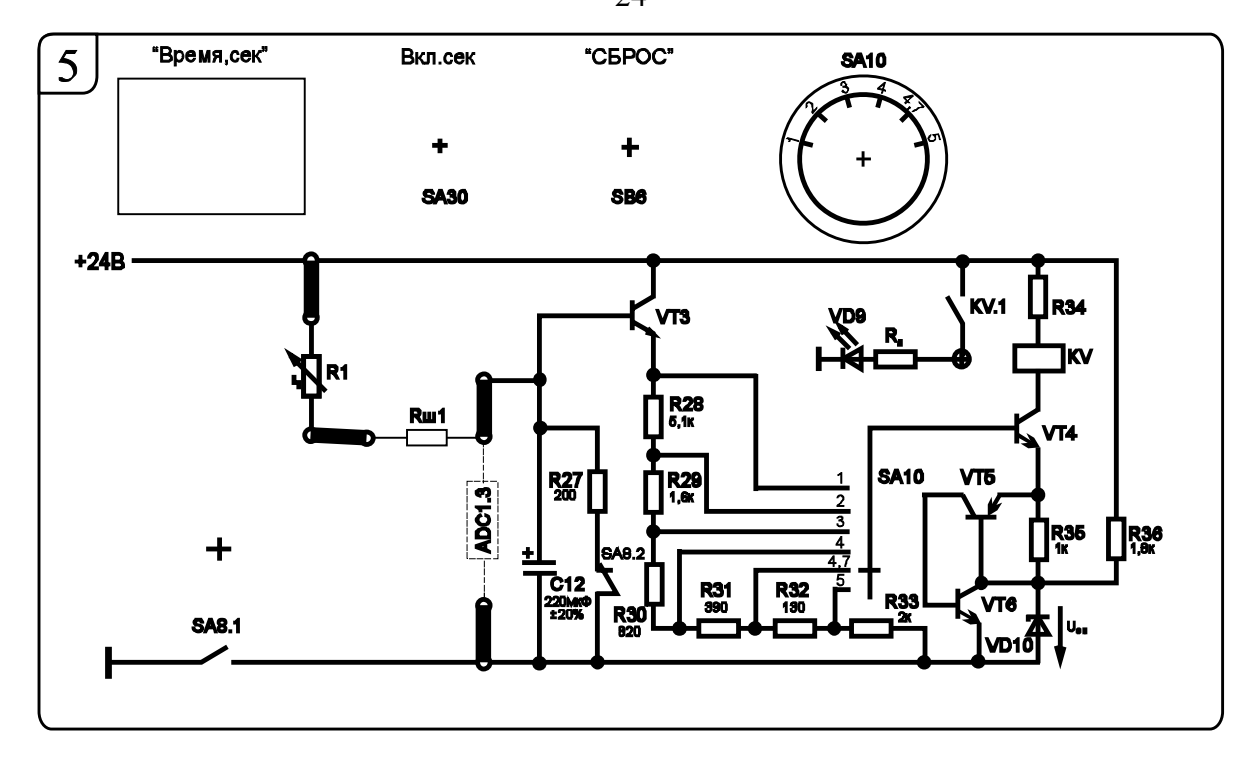


Рисунок 8.2 – Схема для экспериментального исследования процесса заряда конденсатора

Схема представляет собой компаратор, который фиксирует момент достижения конденсатором определенного напряжения и срабатывает в зависимости от положения переключателя SA10 при $1 \cdot U_{on}$, $2 \cdot U_{on}$, $3 \cdot U_{on}$, $4 \cdot U_{on}$, $4 \cdot 7 \cdot U_{on}$, $5 \cdot U_{on}$ в вольтах. Таким образом, напряжение на емкости определяют как

$$U_C = N \cdot U_{on} + 0.6$$

где N- номер положения переключателя SA10, $N=1;\,2;\,3;\,4;\,4,7;\,5;$ $U_{on}=4$ B.

Транзисторы VT5, VT6 выполняют роль тиристора, который открывается, когда на базе VT4 $U_{on} = U_{CT} + 1,2$ В и шунтирует стабилитрон, в результате ток эмиттера VT4 скачком возрастает — срабатывает реле KV.

Напряжение на эмиттере транзистора VT3 определяют как

$$U_{\ni VT3} = U_C - U_{E\ni VT3} = U_C - 0,6.$$

8.3 Порядок выполнения лабораторной работы

Для заданного преподавателем значения постоянной времени т цепи снять зависимость напряжения от времени заряда конденсатора.

- 8.3.1 Собрать схему, приведенную на рисунке 8.2.
- 8.3.2 Установить заданное преподавателем сопротивление R1 в блоке 8.
- 8.3.3 Тумблером SA30 включить секундомер.
- 8.3.4 Сбросить значение секундомера в нулевые показания кнопкой SB6.

8.3.5 Провести первый опыт заряда конденсатора при положении «1» переключателя SA10 блока 5. Для этого переключить тумблер SA8.1 в верхнее положение. Когда засветится светодиод VD9 в блоке 5, записать показания секундомера в таблицу 8.1.

Таблица 8.1 – Результаты измерений

Положение переключателя SA10	t, c	Эксперимент Uc , В	Расчет Uc , В

- 8.3.6 Выключить тумблер SA8.1.
- 8.3.7 Сбросить показания секундомера кнопкой SB6.
- 8.3.8 Провести остальные опыты аналогично (пп. 8.3.5–8.3.7) для всех остальных положений тумблера SA10.
- 8.3.9 Для полученных значений t рассчитать напряжения на конденсаторе и сравнить с экспериментальными. Данные расчетов занести в таблицу 8.1.
- 8.3.10 По результатам измерений и расчетов построить график изменения напряжения на конденсаторе Uc = f(t).
- 8.3.11 Воспользовавшись полученной при эксперименте кривой заряда C12, определить постоянные времени τ и сравнить с расчетным.
- 8.3.12 Провести моделирование работы схемы (см. рисунок 8.1) в среде Multisim.
 - 8.3.13 Сделать выводы по результатам работы.

Содержание отчета

Отчет по работе должен содержать цель работы, схему исследования процесса заряда конденсатора, основные расчетные формулы, результаты эксперимента, моделирования и расчета (см. таблицу 8.1), графики заряда конденсатора с определенной постоянной времени, выводы по работе.

Контрольные вопросы

- 1 Расчет переходного процесса зарядки конденсатора от источника постоянного напряжения.
- 2 Порядок измерения напряжения при зарядке конденсатора компенсационным методом.

9 Лабораторная работа № 9. Определение параметров и основных характеристик однофазного трансформатора

Цель работы: изучение устройства и принципа действия однофазного трансформатора; определение параметров схем замещения трансформатора.

9.1 Основные теоретические сведения

Трансформатор — это статический (неподвижный) электромагнитный аппарат, предназначенный для преобразования переменного тока одного напряжения в переменный ток другого напряжения той же частоты (рисунок 9.1).

На замкнутом сердечнике, собранном из листовой стали, расположены две изолированные обмотки. К одной из них с числом витков W_1 подводится электрическая энергия от источника переменного тока. Эта обмотка носит название первичной. От другой, вторичной, обмотки с числом витков W_2 , энергия отводится к нагрузке.

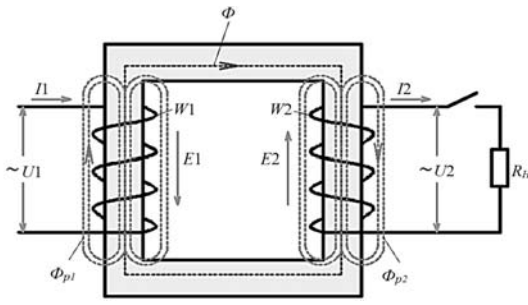


Рисунок 9.1 – Схема трансформатора

Действие трансформатора основано на явлении электромагнитной индукции. При подключении первичной обмотки к источнику переменного тока в витках этой обмотки протекает переменный ток i_1 , который создает в магнитопроводе переменный магнитный поток Φ . Замыкаясь в магнитопроводе, этот поток пронизывает обе обмотки, индуктируя в них ЭДС:

$$e_1 = -W_1 \frac{d\Phi}{dt}$$
; $e_2 = -W_2 \frac{d\Phi}{dt}$.

Значения ЭДС e_1 и e_2 могут отличаться друг от друга в зависимости от числа витков в обмотках. Применяя обмотки с различным соотношением витков, можно изготовить трансформатор на любое отношение напряжений.

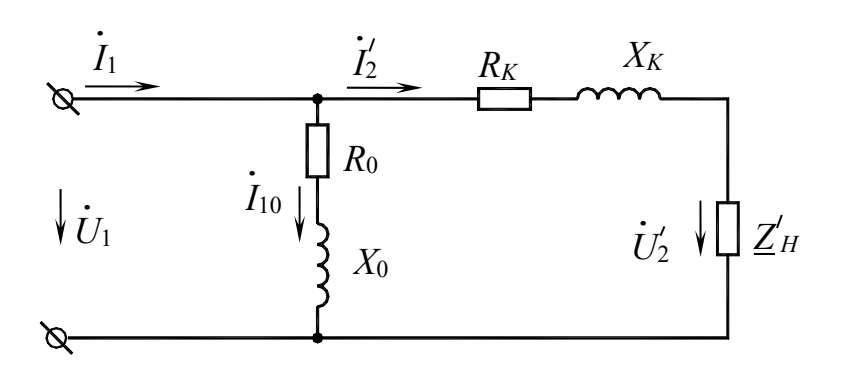
Отношение ЭДС первичной обмотки трансформатора к ЭДС вторичной его обмотки, равное отношению соответствующих чисел витков обмоток, называют коэффициентом трансформации трансформатора:

$$n = E_1 / E_2 = W_1 / W_2$$
.

При подключении ко вторичной обмотке нагрузки Z_H в цепи потечет ток i_2 и на выводах вторичной обмотки установится напряжение u_2 .

Схема замещения трансформатора представлена на рисунке 9.2.

Схема опыта холостого хода представлена на рисунке 9.3.



 R_0 , X_0 — параметры намагничивающей цепи трансформатора в схеме замещения трансформатора, определяемые из опыта холостого хода трансформатора; R_0 — активное сопротивление намагничивающей цепи, обусловленное потерями мощности в стальном магнитопроводе; X_0 — индуктивное сопротивление намагничивающей цепи, обусловленное основным магнитным потоком; R_K , X_K — параметры схемы замещения, определяемые из опыта короткого замыкания трансформатора

Рисунок 9.2 – Схема замещения однофазного трансформатора

Для определения коэффициента трансформации n, а также параметров схемы замещения и потерь мощности в трансформаторе проводят опыт холостого хода (XX) и опыт короткого замыкания (K3) трансформатора.

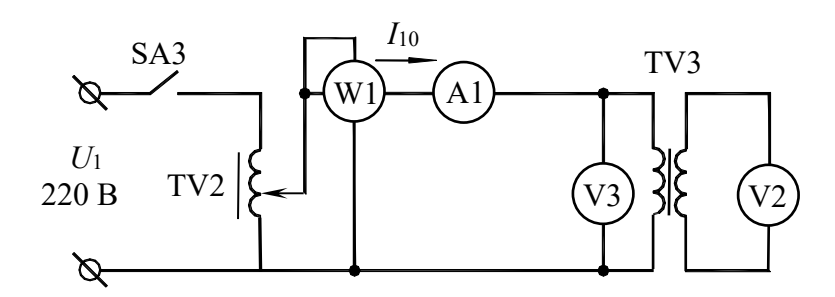


Рисунок 9.3 – Опыт холостого хода трансформатора

Показания приборов PW1, PA1, PV3, PV2 дают возможность определить параметры схемы замещения трансформатора в режиме холостого хода:

$$R_0 = \frac{P_0}{I_{10}^2}; \quad Z_0 = \frac{U_{1H}}{I_{10}}; \quad X_0 = \sqrt{Z_0^2 - R_0^2}; \quad n = \frac{U_{1H}}{U_{20}},$$

где n — коэффициент трансформации трансформатора.

Схема опыта короткого замыкания представлена на рисунке 9.4.

Показания приборов PW1, PV3, PA1, PA2 дают возможность определить параметры схемы замещения в режиме короткого замыкания:

$$R_K = \frac{P_K}{I_{1H}^2}; \quad Z_K = \frac{U_{1K}}{I_{1H}}; \quad X_K = \sqrt{Z_K^2 - R_K^2},$$

а также активные и реактивные сопротивления первичной и вторичной обмотки трансформатора (R_1, R_2, X_1, X_2) :

$$R_1 = R_2' = \frac{R_K}{2}; \quad X_1 = X_2' = \frac{X_K}{2}; \quad R_2 = \frac{R_2'}{n^2}; \quad X_2 = \frac{X_2'}{n^2}.$$

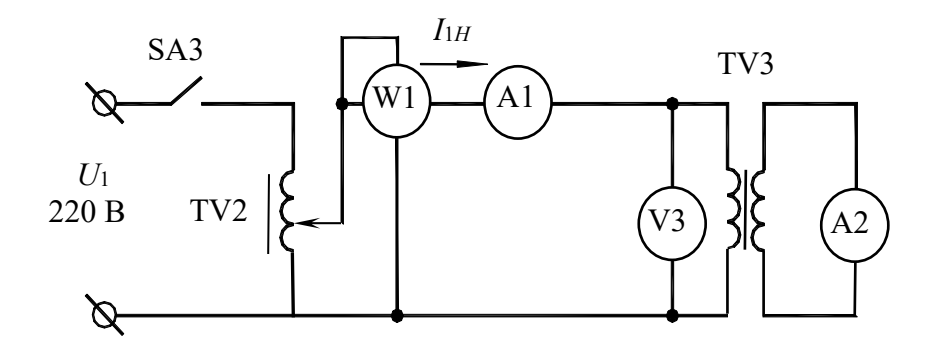


Рисунок 9.4 – Опыт короткого замыкания трансформатора

КПД трансформатора

$$\eta = \frac{\beta \cdot S_H \cdot \cos \varphi_{2H}}{\beta \cdot S_H \cdot \cos \varphi_{2H} + P_0 + \beta^2 \cdot P_K},$$

где β – коэффициент загрузки трансформатора, $\beta = \frac{I_1}{I_{1H}} = \frac{I_2}{I_{2H}}$;

 S_H – полная мощность трансформатора,

$$S_H = U_{1H} \cdot I_{1H} = U_{2H} \cdot I_{2H}$$
.

Внешняя характеристика трансформатора $U_2 = f(\beta)$ строится по следующему уравнению:

$$U_2 = U_{2H} \left(1 - \frac{\Delta U_2 \%}{100 \%} \right),$$

где $\Delta U_2\% = \beta(U_{\kappa.a.}\% \cos\varphi_2 + U_{\kappa.p.}\% \sin\varphi_2);$

 $U_{\kappa.a}\%$ — активная составляющая напряжения короткого замыкания трансформатора, $U_{\kappa.a}\%=\frac{I_{1H}R_{K}}{U_{1H}}100\%=\frac{P_{K}}{S_{H}}100\%$;

 $U_{\kappa,p}\%$ — реактивная составляющая напряжения короткого замыкания трансформатора, $U_{\kappa,p}\%=\frac{I_{1H}X_K}{U_{1H}}100\%$.

9.2 Исследуемые схемы

Для определения параметров схемы замещения трансформатора $U_2 = f(\beta)$ проводят опыты холостого хода (SA4 выключен) и короткого замыкания (SA4 включен) (рисунок 9.5).

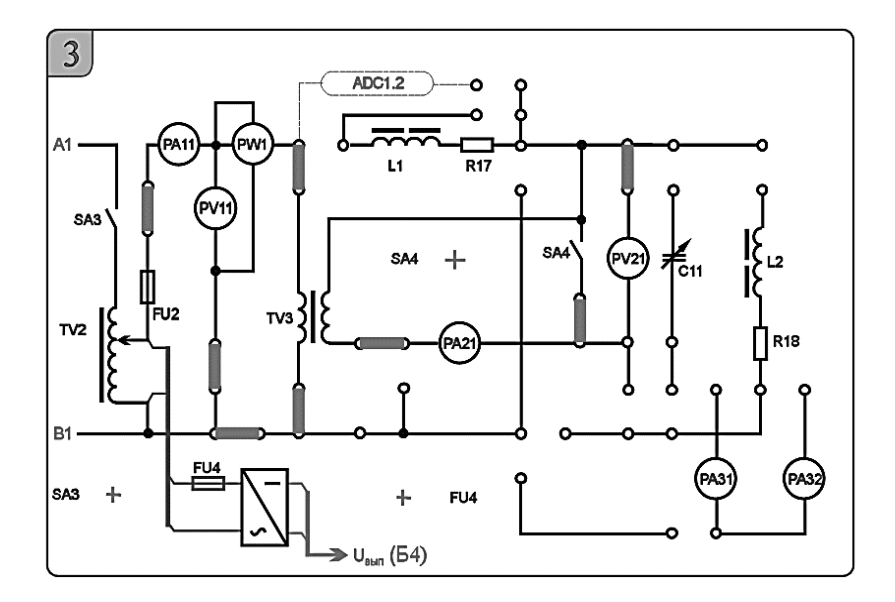


Рисунок 9.5 — Схема исследования трансформатора в режиме холостого хода и короткого замыкания

Исследование однофазного трансформатора производится по схеме, представленной на рисунке 9.6.

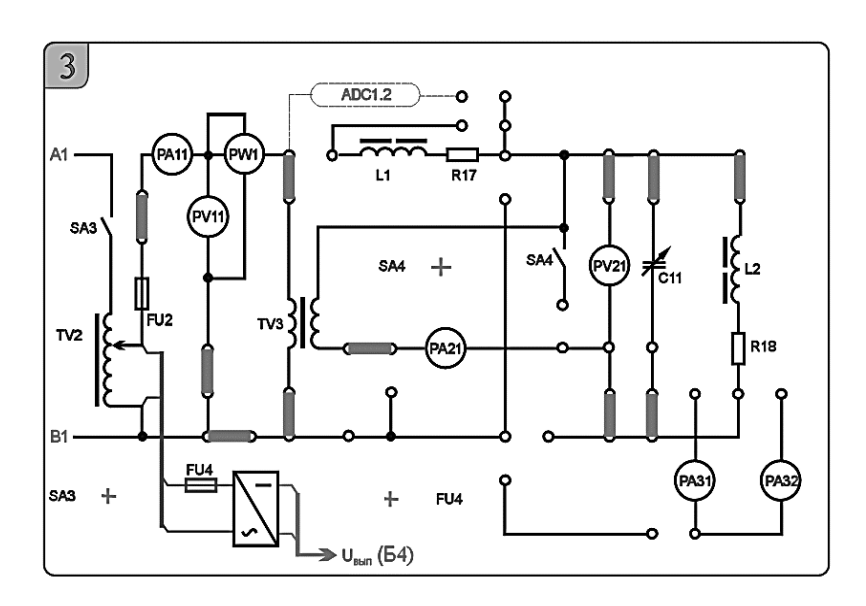


Рисунок 9.6 – Схема исследования однофазного трансформатора

Опыт короткого замыкания производят при пониженном напряжении на первичной обмотке трансформатора (выключатель SA4 включен).

Исследуется и строится внешняя характеристика трансформатора при различном характере и величине нагрузки. Характер нагрузки изменяется при различных значениях емкости конденсатора C11.

Изучаются методы повышения коэффициента мощности нагрузки и КПД трансформатора.

9.3 Порядок выполнения лабораторной работы

- 9.3.1 Собрать схему, приведенную на рисунке 9.5, для проведения опыта холостого хода.
- 9.3.2 Подключить питание ЛАТРа TV2 (тумблер переключения пределов регулирования напряжения ЛАТРа SA70 в блоке 10 в положение « $100 \leftarrow 0B$ »; тумблер SA3 в блоке 3 в положение «включено»).
- 9.3.3 Снять параметры холостого хода трансформатора TV3 при напряжении питания 220 В (по прибору PV11). Снять показания приборов PA11 (I_{10}), PV11 ($U_{1X,X}$), PW1 (P_0), PV21 (U_{20}) и занести их в таблицу 9.1.

Таблица 9.1 – Показания приборов в опыте холостого хода трансформатора

Эко	Экспериментальные данные					Расчетное значение				
<i>U</i> _{1<i>H</i>} , B (PV11)	<i>I</i> ₁₀ , A (PA11)	<i>P</i> ₀ , Вт (PW1)	<i>U</i> ₂₀ , B (PV21)	S, B∙A	<i>Z</i> ₀ , Ом	<i>X</i> ₀ , Ом	<i>R</i> ₀ , Ом	cos φ	φ, град	
220										

- 9.3.4 Рассчитать параметры трансформатора в режиме холостого хода и занести их в таблицу 9.1.
- 9.3.5 Собрать схему, приведенную на рисунке 9.5, для проведения опыта короткого замыкания.
- 9.3.6 Снять параметры короткого замыкания, для чего включить тумблеры SA4 и SA3, установив во вторичной обмотке трансформатора TV3 ток 0,8 А (по прибору PA21). Снять показания приборов PA11 (I_{1H}), PV11 (U_{1K}), PW1 (P_K) и занести их в таблицу 9.2.

Таблица 9.2 – Показания приборов в опыте короткого замыкания

Эк	Экспериментальные данные					Расчетное значение				
<i>U</i> _{1<i>K</i>} , B (PV11)	<i>I</i> ₁ <i>H</i> , A (PA11)	<i>Рк</i> , Вт (PW1)	U_2 , B (PV21)	S, B·A	<i>Zк</i> , Ом	<i>Хк</i> , Ом	<i>Rк</i> , Ом	cos φ	φ, град	
(= : = =)	0,8	(= =)	(- :)	211					- F M	

- 9.3.7 Рассчитать параметры трансформатора в режиме короткого замыкания и холостого хода и занести их в таблицу 9.2.
 - 9.3.8 Измерить вторичное напряжение при нагрузке R_{18} , L_2 (см. рисунок 9.6).
 - 9.3.9 Построить внешнюю характеристику трансформатора $U_2 = f(\beta)$.
- 9.3.10 Осуществить моделирование работы трансформатора в среде Multisim (рисунок 9.7), используя параметры схемы замещения (см. таблицы 9.1 и 9.2). В режиме холостого хода разомкнуть ключ Q и S. В режиме короткого замыкания ключ Q замкнут (напряжение на первичной обмотке изменить на U_K).

Сравнить результаты моделирования с расчетными значениями и результатами эксперимента.

9.3.11 Сделать выводы по результатам работы.

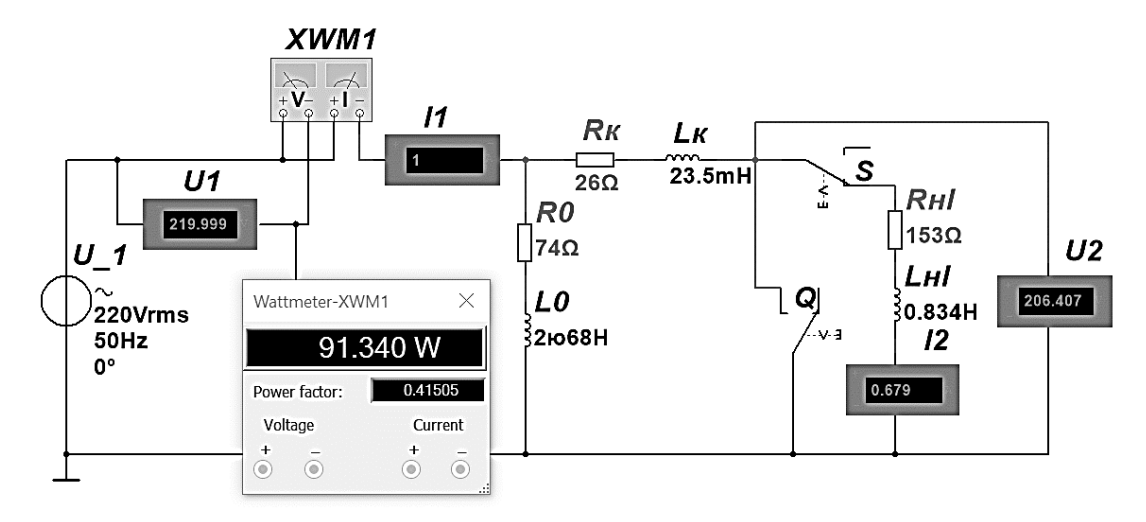


Рисунок 9.7 – Моделирование работы трансформатора в среде Multisim

Содержание отчета

Отчет по работе должен содержать цель работы, схему трансформатора в режиме холостого хода и короткого замыкания, основные расчетные формулы, результаты эксперимента и расчета (см. таблицы 9.1 и 9.2), внешнюю характеристику трансформатора, выводы по работе.

Контрольные вопросы

- 1 Опишите принцип работы однофазного трансформатора.
- 2 Определение параметров схемы замещения трансформатора с помощью опытов холостого хода и короткого замыкания.
 - 3 Опишите моделирование работы трансформатора в среде Multisim.

10 Лабораторная работа № 10. Исследование асинхронного трехфазного двигателя с короткозамкнутым ротором

Цель работы: изучение принципа действия трехфазного асинхронного двигателя (АД) с короткозамкнутым ротором; построение механической характеристики двигателя M = f(S).

10.1 Основные теоретические сведения

Наибольшее применение в промышленности получили трехфазные асинхронные двигатели.

Основными частями АД являются статор и ротор, отдаленные друг от друга воздушным зазором (0,3...0,5 мм). Их сердечники собраны из листов электротехнической стали. На внутренней части поверхности статора и на внешней ротора выштампованы пазы, в которые уложены обмотки. Сердечник статора помещен в корпус, на котором закреплены клеммы статорной обмотки, состоящей из трех отдельных катушек, сдвинутых в пространстве на 120°. Сердечник

ротора укреплен непосредственно на валу двигателя или на ступице, надетой на вал.

Обмотка ротора чаще всего выполняется короткозамкнутой в виде «беличьего колеса», состоящего из стержней и замыкающих их на торцах колец.

Принцип действия АД основан на взаимодействии вращающегося магнитного поля статора (неподвижная часть машины) с токами, индуктируемыми в роторе (подвижная ее часть).

Частота вращающегося магнитного поля статора

$$n_0 = 60 f / p$$
,

где f – частота напряжения сети;

p — число пар полюсов машины (в частности, три обмотки статора создают одну пару полюсов, шесть обмоток — две пары и т. д.).

Разность частот вращения поля статора и ротора называют частотой скольжения $n_s = n_0 - n$, а ее отношение к частоте n_0 – скольжением S, т. е.

$$S = \frac{n_0 - n}{n_0}.$$

Диапазон изменения скольжения в асинхронном двигателе $1 \ge S \ge 0$; при пуске S=1, при холостом ходе $S=0{,}001{\dots}0{,}005$, при номинальной нагрузке $S=0{,}03{\dots}0{,}07$.

Одной из основных характеристик АД является механическая характеристика. Уравнение механической характеристики M = f(S) (формула Клосса)

$$M = \frac{2 \cdot M_K}{\frac{S}{S_K} + \frac{S_K}{S}},$$

где M_K – максимальный момент, развиваемый двигателем, $M_K = \lambda \cdot M_H$;

 λ — коэффициент перегрузки двигателя, λ = 1,5...2,5;

 M_H – номинальный момент двигателя, M_H = 9,55 P_H/n_H ;

 S_K – критическое скольжение, $S_K = S_H(\lambda + \sqrt{\lambda^2 - 1})$;

 S_H – номинальное скольжение, $S_H = \frac{n_0 - n_H}{n_0}$;

p — число пар полюсов двигателя.

Вращающий момент двигателя также можно определить через параметры схемы замещения:

$$M = \frac{3U_{1\phi}^{2}R_{2}'}{\omega_{0}S\left[\left(R_{1} + \frac{R_{2}'}{S}\right)^{2} + \left(X_{1} + X_{2}'\right)^{2}\right]},$$

где $U_{1\phi}$ – фазное напряжение двигателя;

 ω_0 – угловая частота вращения магнитного поля статора двигателя,

$$\omega_0 = \frac{2 \cdot \pi \cdot f_1}{p};$$

 R_1 – активное сопротивление обмотки отдельной фазы статора двигателя;

 R_2' — приведенное активное сопротивление отдельной фазы обмотки ротора, $R_2' = n^2 R_2$;

 X_1 – индуктивное сопротивление отдельной фазы обмотки статора;

 X_2' — приведенное индуктивное сопротивление отдельной фазы обмотки ротора, $X_2' = n^2 X_2$;

n — коэффициент трансформации асинхронного двигателя.

Приведенное значение тока ротора $I_2' = I_1$ определяют из выражения вида

$$I_1 = I_2' = \frac{U_{1\phi}}{\sqrt{\left(R_1 + \frac{R_2'}{S}\right)^2 + \left(X_1 + X_2'\right)^2}}.$$

Из последних двух выражений следует, что при снижении напряжения $U_{1\phi}$ момент двигателя изменяется пропорционально $U_{1\phi}^2$, а ток – $U_{1\phi}$.

Расчет КПД двигателя производится следующим образом:

$$\eta = \frac{P_2}{P_1},$$

где P_2 – мощность на валу двигателя,

$$P_2 = \frac{\pi \cdot n_2}{30} \cdot M;$$

M – текущее значение момента на валу двигателя;

 n_2 — текущее значение частоты вращения двигателя;

 P_1 — мощность, потребляемая двигателем из сети, определяется по показаниям ваттметров.

Коэффициент мощности двигателя

$$\cos \varphi = \frac{P_1}{S_1},$$

где S_1 – полная мощность двигателя, $S_1 = 3 \cdot U_{1\phi} \cdot I_{\phi}$ ($U_{1\phi}$ и I_{ϕ} измеряются приборами PV11 и PA11 при соединении обмоток двигателя звездой).

10.2 Исследуемая схема

Для выполнения лабораторной работы собирается схема, представленная на рисунке 10.1.

Паспортные данные асинхронного двигателя.

Тип АИР56А4У3; $P_H = 0.12$ кВт; $\eta_H = 58$ %; $\cos \varphi = 0.66$; $n_H = 1350$ мин⁻¹; $I_H = 0.44$ A; $U_H = 220$ B; $\lambda = M_K/M_H = 2.2$; $K_i = I_\Pi/I_H = 5$; $K_\Pi = M_\Pi/M_H = 1.2$.

В работе исследуют и строят механическую характеристику M = f(S) и рабочие характеристики $\eta = f(P_2)$ и соѕ $\varphi = f(P_2)$ при включении обмоток статора звездой. Фазное напряжение при этом оказывается в $\sqrt{3}$ раз меньше номинального.

Частоту вращения вала двигателя n_2 измеряют цифровым измерителем (ИС) в относительных единицах. Для определения истинного значения нужно воспользоваться формулой

$$n_2 = \frac{N \cdot 3000}{100},$$

где N – текущее показание измерителя.

10.3 Порядок выполнения лабораторной работы

10.3.1 Рассчитать по паспортным данным номинальный ток двигателя и номинальный момент.

Номинальный момент двигателя

$$M_H = 9,55 \cdot \frac{P_H}{n_H} .$$

При номинальной частоте вращения и пониженном напряжении питания

$$M'_{H} = \frac{M_{H}}{3}; I'_{H} = \frac{I_{H}}{\sqrt{3}},$$

где M'_{H} – момент при снижении напряжения в $\sqrt{3}$ раз;

 $I_{H}^{\prime}-$ ток в обмотке статора при снижении напряжения в $\sqrt{3}\,$ раз.

- 10.3.2 Собрать схему, приведенную на рисунке 10.1.
- 10.3.3 Установить тумблер SA17 в положение Y.
- 10.3.4 Резистор *R*43 установить в положение «min».
- 10.3.5 Тумблер SA21 должен находиться в положении «ВКЛ».
- 10.3.6 Включить стенд автоматическими выключателями QF1, QF2, QF3.
- 10.3.7 При помощи «Задатчика» выбрать профиль отображения приборов L8.
- 10.3.8 Включить измеритель скорости тумблером SA18.
- 10.3.9 Включить тумблер SA14.10 Нажать на кнопку SB3 для подключения асинхронного двигателя к сети через пускатель KM2.

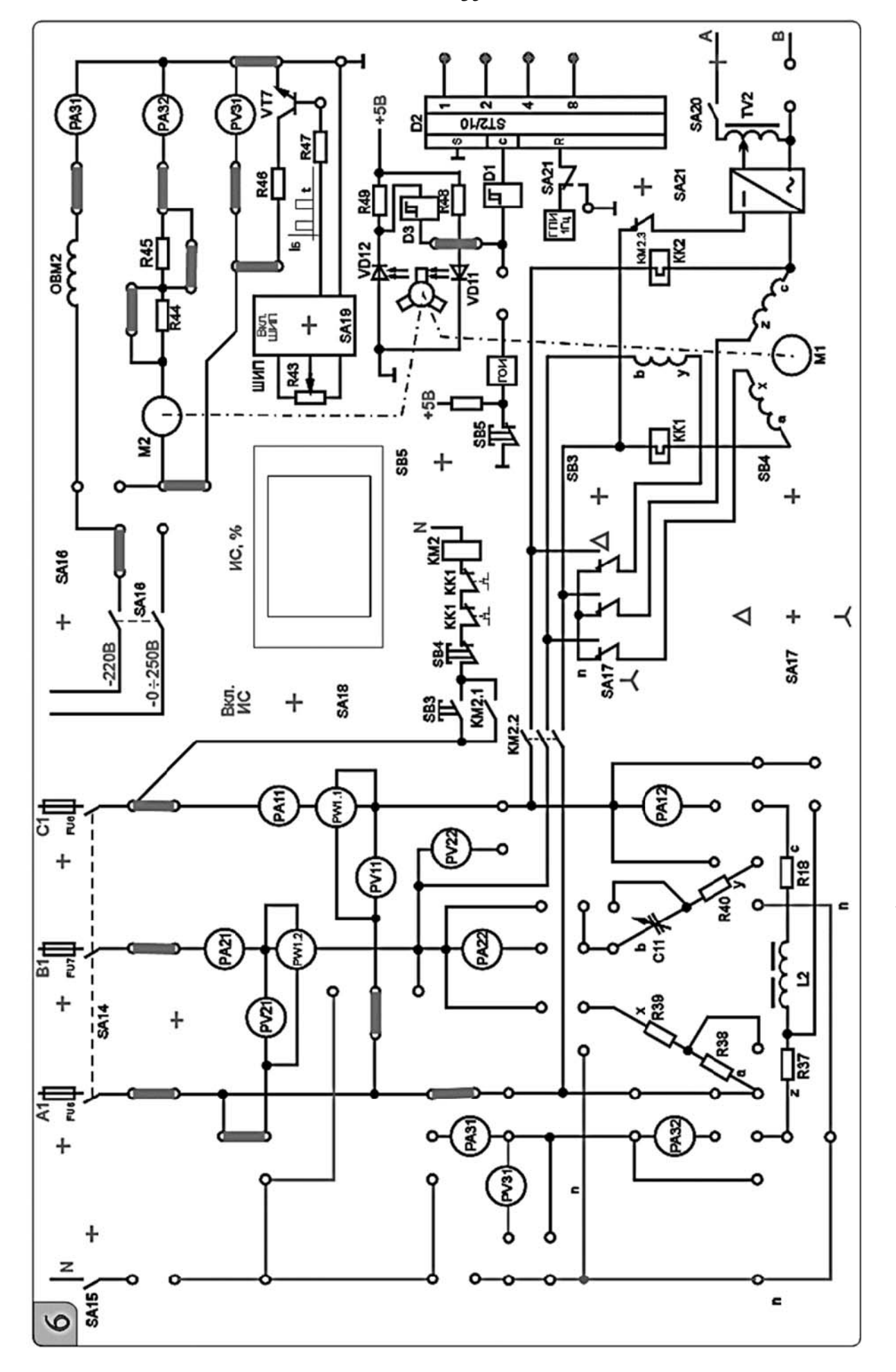


Рисунок 10.1 – Схема исследования трехфазного асинхронного двигателя с короткозамкнутым ротором

- 10.3.10 Для нагрузки используется генератор постоянного тока ПЛ-062.
- 10.3.11 Для подключения обмотки возбуждения включить тумблер SA16.
- 10.3.12 Включить ШИП при помощи тумблера SA19.
- 10.3.13 Установить номинальный ток для пониженного напряжения I'_H (контролировать по прибору PA11), увеличивая нагрузку резистором R43, плавно поворачивая его в сторону «max».
- 10.3.14 Снять показания приборов PA11 (I'_H), PV11 ($U_{1,II}$), PW1 (P1), PA31 (I_B), PA32 (I_B), ИС.
 - 10.3.15 Вернуть рукоятку резистора R43 в начальное положение «min».
- 10.3.16 Считая M_0 независимым от частоты вращения и изменяя $I_{\mathcal{A}}$ (PA32), с помощью R43 снять показания приборов PA11 (I_1'), PV11 ($U_{1,I}$), PW1 (P1), PA31(I_B), PA32(I_B), ИС с различной величиной нагрузки на валу. Данные опыта записать в таблицу 10.1.

Таблица 10.1 – Результаты исследования

Номер опыта	n, %	Ія (РАЗ2), А	P ₁ (PW1), Вт	$U_{I\phi}\left(\frac{\text{PV11}}{\sqrt{3}}\right)$, B	<i>I</i> φ (PA11), A
1					
2					
3					
4					
5					

10.3.17 Считая, что к валу $A\mathcal{I}$ была приложена номинальная нагрузка для номинального режима, определить M_0 по экспериментальным данным п. 10.3.16.

$$M_{\scriptscriptstyle 0} = M_{\scriptscriptstyle H}' - M_{\scriptscriptstyle \Gamma} = M_{\scriptscriptstyle H}' - C_{\scriptscriptstyle M} \Phi \cdot I_{\scriptscriptstyle \mathcal{H}\Gamma},$$

где M_0 – статический момент нагрузки холостого хода;

 M_{Γ} – момент генератора постоянного тока;

 $I_{\it H\Gamma}$ – ток якоря генератора постоянного тока (прибор PA32);

 $C_M \Phi$ – магнитная постоянная нагрузочного генератора,

$$C_M \Phi = \frac{M_{H\Gamma}}{I_{\mathcal{H}}} = \frac{0,573}{0,76} = 0,753947.$$

- 10.3.18 Рассчитать для каждой нагрузки момент на валу M, КПД, скольжение S, полную мощность двигателя S1, мощность на валу P2 и $\cos \varphi$. Данные расчетов занести в таблицу 10.2.
 - 10.3.19 По результатам измерений и расчетов построить:
 - механическую характеристику M = f(S);
 - рабочие характеристики $\eta = f(P_2)$ и $\cos \varphi = f(P_2)$.
- 10.3.20 Рассчитать механическую характеристику по формуле Клосса для пониженного напряжения и сравнить с результатами эксперимента.

Таблица 10.2 – Результаты расчета

Номер опыта	S	М, Н∙м	Р2, Вт	η,%	S_1 , B·A	cos φ
1						
2						
3						
4						
5						

10.3.21 Сделать выводы по результатам работы.

Содержание отчета

Отчет по работе должен содержать цель работы, основные расчетные формулы асинхронного двигателя с короткозамкнутым ротором, результаты эксперимента и расчета (см. таблицы 10.1 и 10.2), механическую характеристику M = f(S), рабочие характеристики $\eta = f(P_2)$ и $\cos \varphi = f(P_2)$, выводы по работе.

Контрольные вопросы

- 1 Опишите принцип работы трехфазного асинхронного двигателя с корот-козамкнутым ротором.
- 2 Механическая характеристика трехфазного асинхронного двигателя с короткозамкнутым ротором.
- 3 Рабочие характеристики трехфазного асинхронного двигателя с короткозамкнутым ротором.

11 Лабораторная работа № 11. Снятие характеристик полупроводникового диода и стабилитрона

Цель работы: изучение принципа функционирования, характеристик и параметров выпрямительных диодов и стабилитронов.

11.1 Основные теоретические сведения

Полупроводниковый прибор, который имеет два электрода и один p-n-переходов (или несколько), называется диодом.

На рисунке 11.1, a приведено условное графическое обозначение полупроводникового диода на электрических схемах, на рисунке 11.1, δ — его структура. Электрод диода, подключенный к области p, называют анодом, а электрод, подключенный к области n, — катодом.

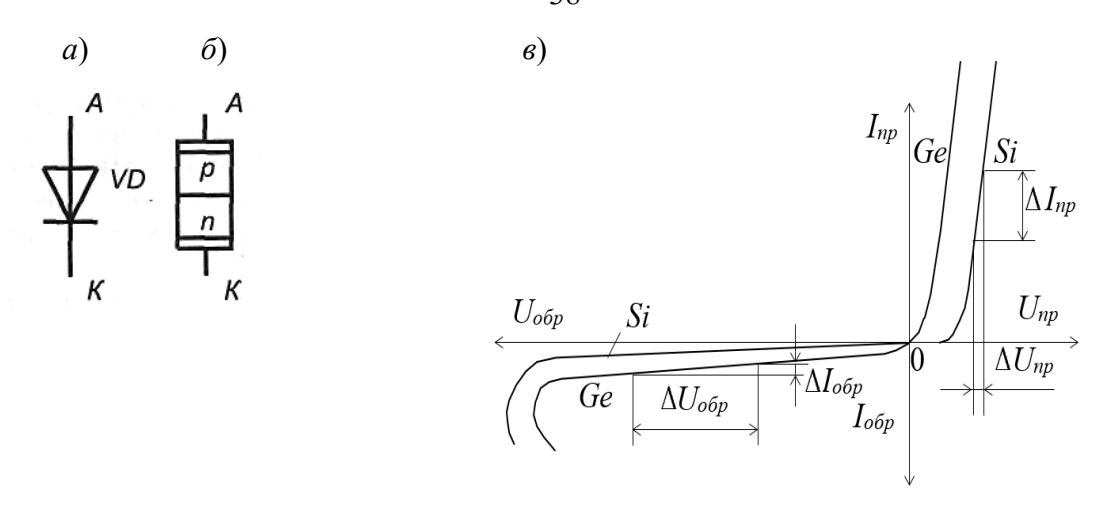


Рисунок 11.1 — Условное обозначение (*a*), структура (*б*) и статическая вольт-амперная характеристика (*в*) полупроводникового диода

Стабилитрон — это сильно легированный кремниевый диод, на котором напряжение сохраняется с определенной точностью при изменении протекающего через него тока в заданном диапазоне. Стабилитроны в основном используют в параметрических стабилизаторах напряжения (рисунок 11.2, a), в которых максимальное напряжение на нагрузке U_H ограничено некоторой заданной величиной.

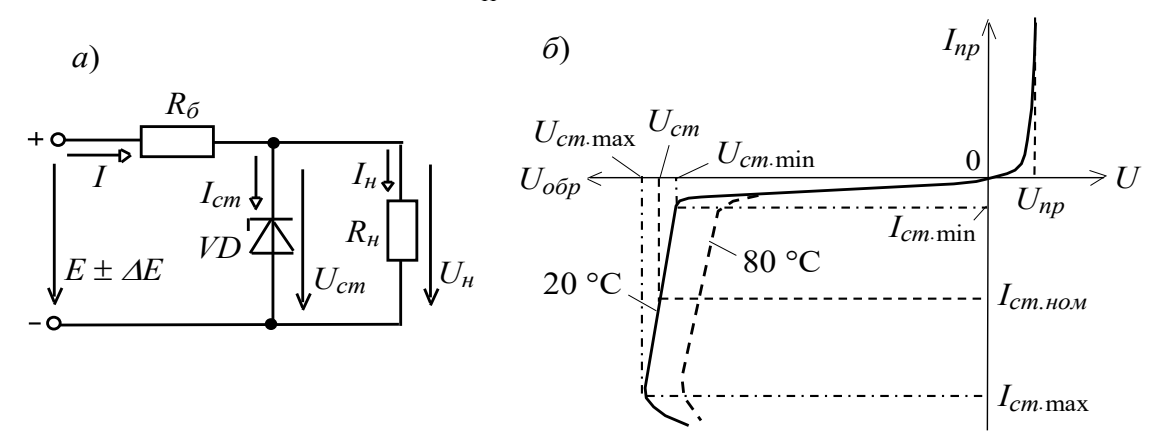


Рисунок 11.2 — Параметрический стабилизатор (a) и статическая вольт-амперная характеристика (δ) стабилитрона

Сопротивление балластного резистора определяют по формуле

$$R_{\delta} = \frac{E_{cp} - U_{cm}}{I_{cm.cp} + I_{H}},$$

где E_{cp} , $I_{cm. cp}$ — средние значения ЭДС входного источника напряжения и тока стабилизации соответственно.

11.2 Порядок выполнения работы

11.2.1 Для заданных преподавателем диодов выписать из справочника их основные параметры.

11.2.2 Для построения вольт-амперной характеристики (BAX) диода в программе Multisim собрать схему, указанную на рисунке 11.3. Осуществить моделирование ее работы, изменяя ЭДС источников питания.

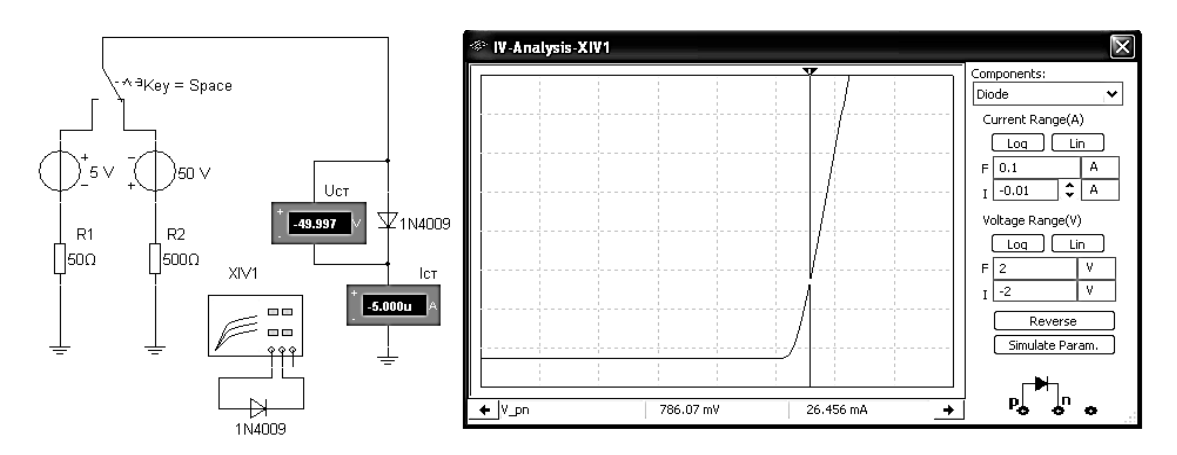


Рисунок 11.3 – Схема для снятия BAX в среде Multisim

Диод выбирается из библиотеки элементов согласно заданию и подключается к источнику постоянного напряжения. Для снятия обратной ветви ВАХ с помощью ключа меняется полярность источника ЭДС.

ВАХ можно получить с помощью характериографа XIV1.

- 11.2.3 По полученным ВАХ диода определить:
 - прямое статическое сопротивление при токе, равном $0.5 I_{np \max}$,

$$R_{np} = \frac{U_{np}}{I_{np}};$$

— обратное статическое сопротивление при напряжении, равном половине от $U_{o\delta p \; {
m max}},$

$$R_{o\delta p} = \frac{U_{o\delta p}}{I_{o\delta p}};$$

- прямое дифференциальное сопротивление диода

$$R_{\partial u\phi} = \frac{\Delta U_{np}}{\Delta I_{np}}.$$

Результаты занести в таблицу 11.1.

Таблица 11.1 – Результаты измерений и вычислений

		Результат	Резули	ьтат вычисл	пения			
U_{np} , B	I_{np} , MA	U обр, ${ m B}$	$I_{oбp}$, мА	ΔU_{np} , B	ΔI_{np} , MA	R_{np} , Ом	$R_{oбp}$, Ом	$R_{\partial u\phi}$, Om

11.2.4 На основании заданного типа стабилитрона, параметров источника входного напряжения (E_{\min} , E_{\max}), параметров нагрузки (U_H , R_H) необходимо рассчитать сопротивление балластного резистора R_{δ} (см. рисунок 11.2). Заполнить таблицы 11.2 и 11.3.

Таблица 11.2 – Параметры стабилитрона

Данные	U_{cm} ном, B	$U_{cm \min}$, B	Ucm max, B	Icm min, MA	Icm max, мА	Icm cp, мА	$R_{\partial u\phi}$, Om
Паспортные данные							
Моделирование							

Таблица 11.3 – Параметры параметрического стабилизатора

Emin, B	E_{max} , B	E_{cp} , B	R_H , Om	IH, MA	U_{cm} , B	Icm, MA	Rб, Ом
			•				

11.2.5 Получить вольт-амперную характеристику стабилитрона (BAX) в программе Multisim с помощью характериографа XIV1 (рисунок 11.4). Стабилитрон выбирается из библиотеки элементов согласно заданию.

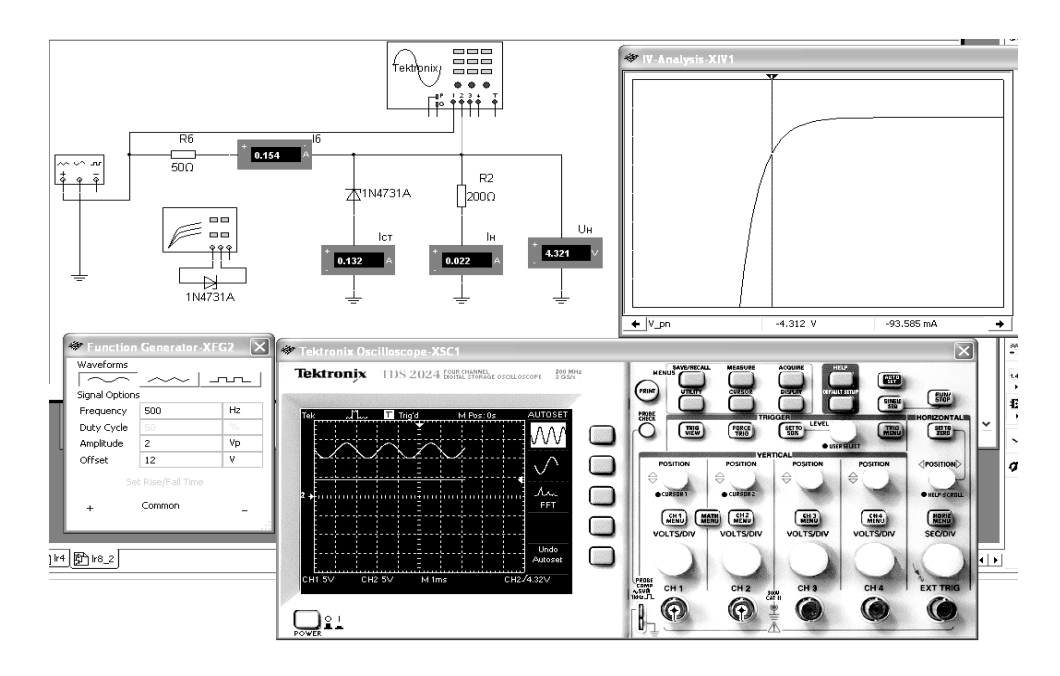


Рисунок 11.4 – Схема для снятия BAX стабилитрона и исследования параметрического стабилизатора напряжения в среде Multisim

- 11.2.6 По полученным ВАХ стабилитрона определить U_{cm} , I_{cm} , дифференциальное сопротивление стабилитрона на участке стабилизации $R_{\partial u\phi}$.
- 11.2.7 На основании выбранных элементов схемы параметрического стабилизатора напряжения осуществить моделирование его работы (см. рисунок 11.4). Входное напряжение формируется функциональным генератором XFG2, напряжения и токи в схеме отображаются с помощью виртуальных вольтметров, амперметров и осциллографа Tektronix-XSC1.
 - 11.2.8 Сделать выводы по результатам работы.

Содержание отчета

Отчет по работе должен содержать цель работы, схемы для моделирования работы выпрямительного диода и параметрического стабилизатора напряжения в среде Multisim, вольт-амперные характеристики диодов и стабилитрона, полученные в результате моделирования, основные параметры диода, стабилитрона, параметрического стабилизатора в виде таблиц, выводы по работе.

Контрольные вопросы

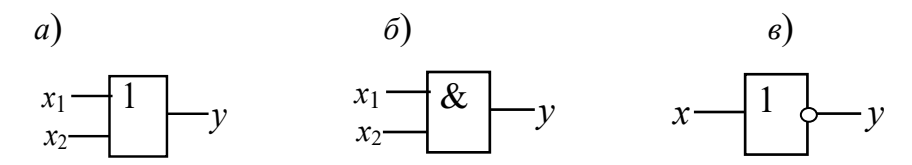
- 1 Приведите основные параметры выпрямительного диода и стабилитрона.
- 2 Опишите порядок получения ВАХ диода и стабилитрона по результатам моделирования и экспериментально.
- 3 Как по ВАХ определить статические и динамические сопротивления диода и стабилитрона?

12 Лабораторная работа № 12. Исследование работы логических элементов и триггеров

Цель работы: изучение принципа функционирования и характеристик логических элементов и триггеров.

12.1 Основные теоретические сведения

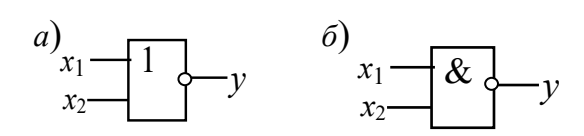
В ЭВМ, импульсных и других цифровых устройствах широко применяются логические элементы. Каждый логический элемент выполняет вполне определенную логическую операцию. Основными логическими операциями являются: логическое отрицание НЕ (инверсия), логическое сложение ИЛИ (дизьюнкция), логическое умножение И (конъюнкция) (рисунок 12.1).



a – элемент ИЛИ; δ – элемент И; ϵ – элемент НЕ

Рисунок 12.1 – Условное графическое обозначение логических элементов

К базовым логическим элементам относятся элементы Пирса и Шеффера (рисунок 12.2). На основе этих простых операций могут строиться и более сложные. Для описания логических операций используется алгебра логики. Алгебра логики широко применяется в теории цифровой техники, в которой используются устройства, имеющие два устойчивых состояния равновесия. При этом одно из состояний, соответствующее, например, высокому уровню напряжения, обозначается единицей, а соответствующее низкому уровню напряжения – нулем.



a – элемент ИЛИ-НЕ; δ – элемент И-НЕ

Рисунок 12.2 – Условное графическое обозначение логических элементов

Триггер — это устройство последовательностного типа с двумя устойчивыми состояниями равновесия, предназначенное для записи и хранения информации. Под действием входных сигналов триггер может переключаться из одного устойчивого состояния в другое. При этом напряжение на его выходе скачкообразно изменяется с низкого уровня на высокий или наоборот.

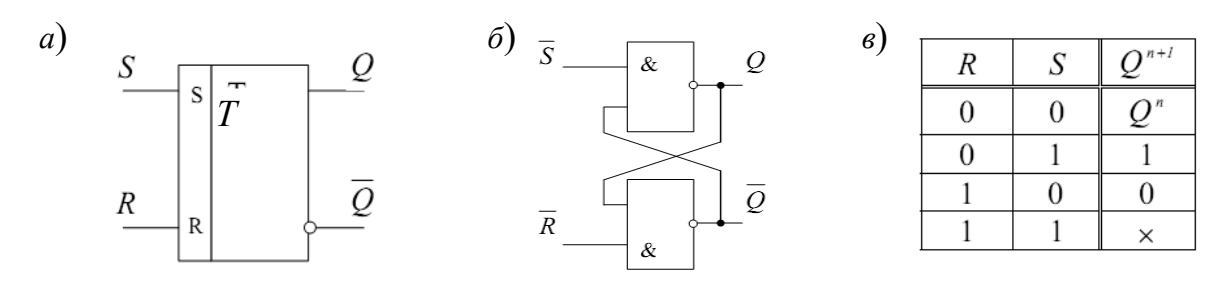
Как правило, триггер имеет два выхода: прямой Q и инверсный \overline{Q} . Число входов зависит от структуры и функций, выполняемых триггером. Например, асинхронные RS-триггеры имеют два входа: вход S установки в единичное состояние прямого выхода Q и вход R установки в нулевое состояние выхода Q. Синхронные триггеры для занесения в них информации, помимо информационных входов S (J) и R (K), имеют синхронизирующий C или счетный T вход, а триггеры задержки — информационный вход D.

Наибольшее распространение в цифровых устройствах получили триггеры RS (рисунок 12.3), D (рисунок 12.4), T (рисунок 12.5) и JK (рисунок 12.6).

Схемотехнически RS-триггер может быть реализован на элементах 2ИЛИ-НЕ (см. рисунок 12.3, δ) и 2И-НЕ с использованием перекрестных положительных обратных связей. В триггере на элементах 2И-НЕ изменение состояния происходит при низких уровнях сигналов S и R.

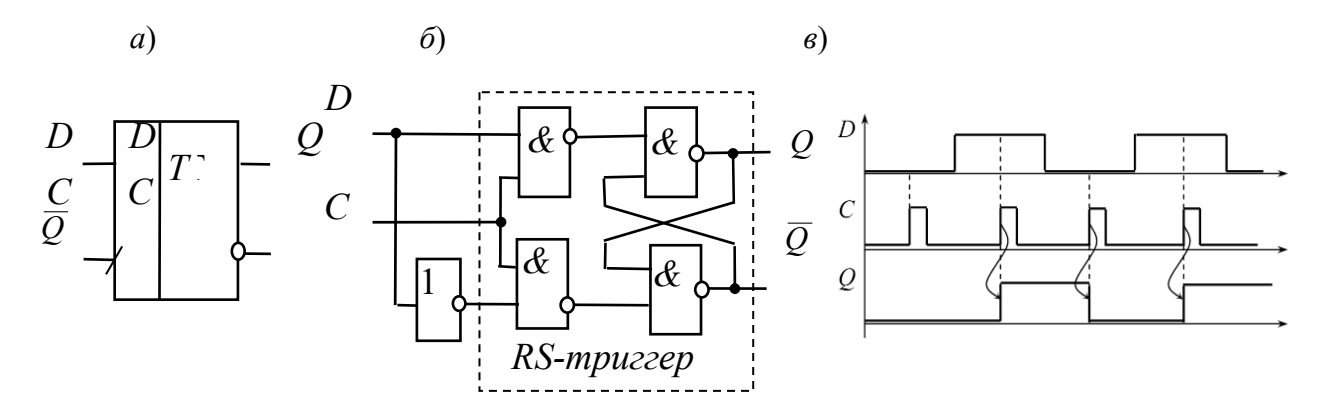
Отличительной особенностью D-триггера (триггера задержки) является то, что он сохраняет информацию, поступившую на D-вход в предыдущем такте работы до прихода синхроимпульса, т. е. его состояние может изменяться с задержкой на один такт. Условное обозначение D-триггера с синхронизацией по переднему фронту и диаграммы его работы показаны на рисунке 12.4.

T-триггеры иначе называются счетными и применяются для построения счетчиков и делителей частоты. Такой триггер имеет один тактовый вход и его состояние меняется каждый раз при подаче счетного импульса T=1 и остается неизменным при T=0. Таблица состояния триггера, его обозначение и диаграммы работы приведены на рисунке 12.5.



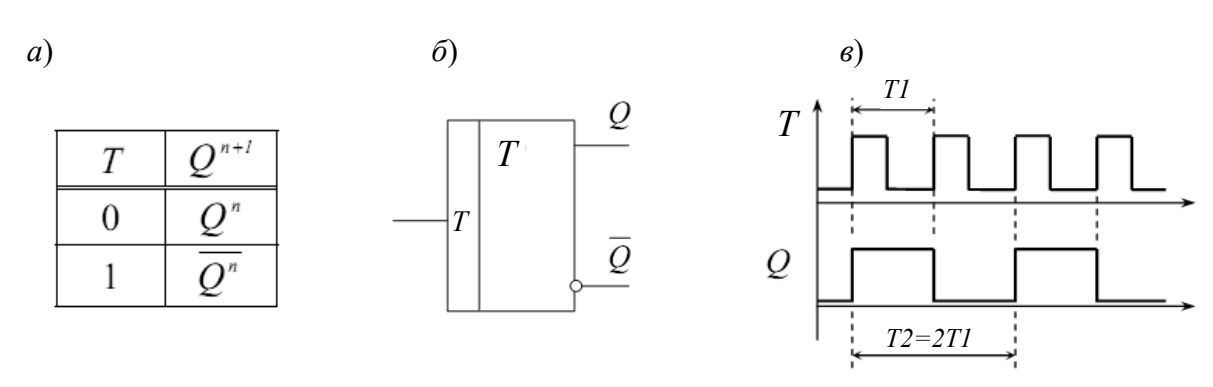
a — условное графическое изображение; δ — схема реализации RS-триггера на базовых элементах V-HE; θ — таблица истинности

Рисунок 12.3 – Асинхронный *RS*-триггер



a — условное графическое изображение; δ — схема реализации D-триггера на базовых элементах И-НЕ; ϵ — временная диаграмма, иллюстрирующая работу триггера

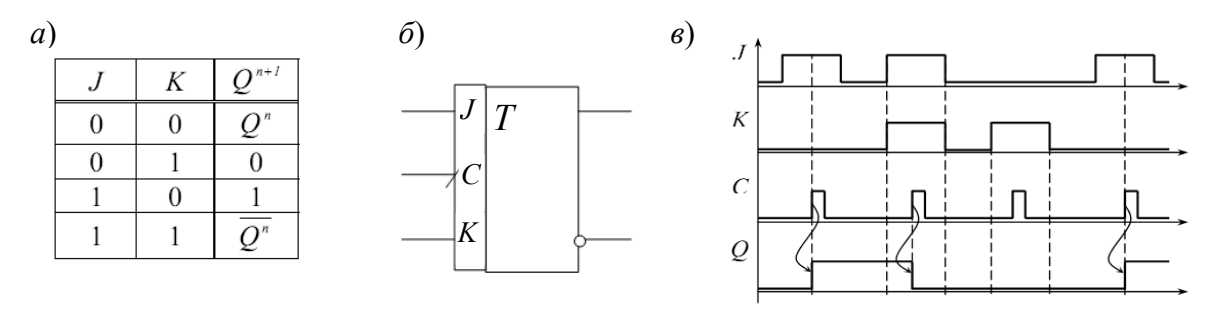
Рисунок 12.4 – *D*-триггер



a — таблица истинности; δ — условное графическое изображение; ϵ — временная диаграмма, иллюстрирующая работу триггера

Рисунок 12.5 - T-триггер

JK-триггер имеет два управляющих входа J (jump) и K (keep) и функционирует подобно RS-триггеру, но при этом не имеет запрещенных комбинаций управляющих сигналов. J-вход подобен S-входу, а K-вход подобен R-входу. При всех комбинациях сигналов на входе, кроме J=K=1, он действует подобно RS-триггеру. При J=K=1 в каждом такте происходит «опрокидывание» триггера и его состояние меняется на противоположное (см. рисунок 12.6, a). На рисунке 12.6, a0, a1 показаны условное обозначение a2. Триггера с синхронизацией по переднему фронту и его временные диаграммы работы.



a — таблица истинности; δ — условное графическое изображение; ϵ — временная диаграмма, иллюстрирующая работу триггера

Рисунок 12.6 – ЈК-триггер

12.2 Порядок выполнения работы

- 12.2.1 В программе Multisim собрать схему для испытания основных и базовых логических элементов (рисунок 12.7) ОR (ИЛИ), AND (И), NOT (НЕ), NAND (И-НЕ) и ХОR (ИЛИ-НЕ), расположенных в библиотеке Misc Digital/TIL с уровнем высокого напряжения 5 В. В схему включены ключи SB1 и SB2, пробники X1, X2 и Y1–Y5 с пороговыми напряжениями 5 В. Если входной или выходной сигнал элемента равен логической единице, то включенный на выходе этого элемента пробник светится. Результаты моделирования занести в таблицу 12.1.
- 12.2.2 По заданию преподавателя исследовать работу трех логических элементов одной из серий интегральных микросхем (рисунок 12.8), предварительно выписав из справочника их параметры и условное обозначение. Составить таблицу истинности для данных элементов.
- 12.2.3 В программе Multisim собрать схему исследования *RS*-триггера на логических элементах И-НЕ заданной преподавателем серии (рисунок 12.9).

	Дизъюнктор [ИЛИ (OR)]		Конъюнктор [И (AND)]		Инвертор [HE (NOT)]		Штрих Шеффера [И-НЕ (NAND)]			Стрелка Пирса [ИЛИ-НЕ (NOR)]			
<i>X</i> 1	<i>X</i> 2	y	X 1	<i>X</i> 2	y	x	у	<i>X</i> 1	<i>X</i> 2	у	<i>X</i> 1	<i>X</i> 2	у
0	0		0	0		0		0	0		0	0	
0	1		0	1		0		0	1		0	1	
1	0		1	0		1		1	0		1	0	
1	1		1	1		1		1	1		1	1	

Таблица 12.1 – Результаты моделирования

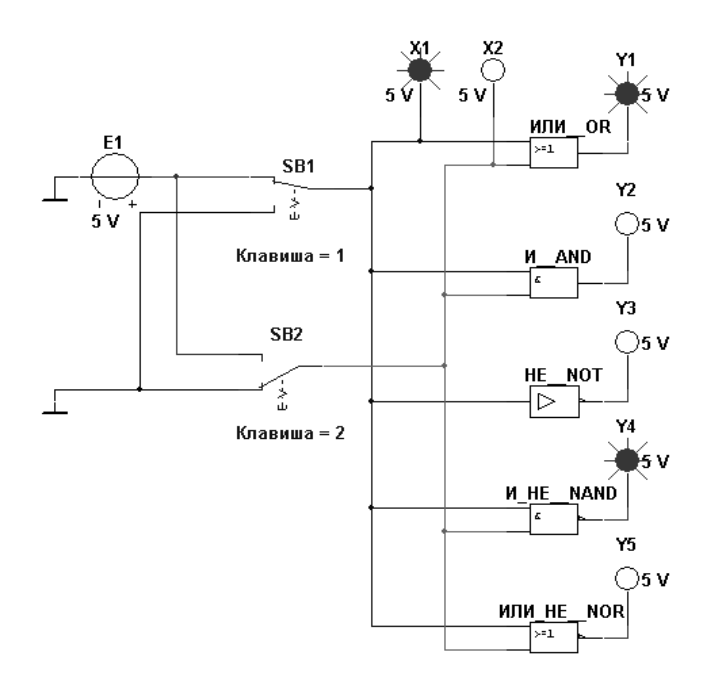


Рисунок 12.7 – Схема для исследования основных и базовых логических элементов

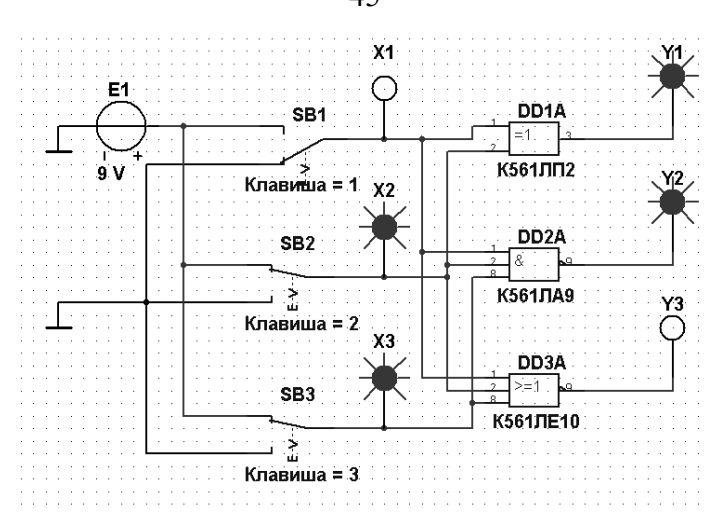


Рисунок 12.8 – Схема для исследования логических элементов серии К561

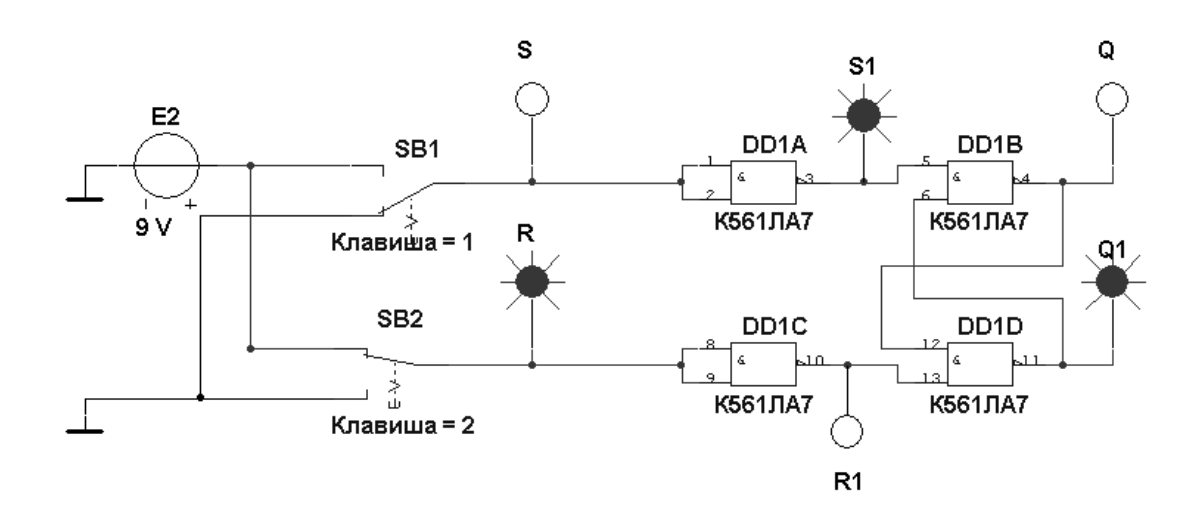


Рисунок 12.9 – Схема RS-триггера на логических элементах серии K561

Воспользовавшись порядком засвечивания пробников и задавая коды (00, 01, 10) состояния ключей SB1 и SB2 (входных сигналов), составить таблицу истинности RS-триггера.

12.2.4 В программе Multisim собрать схему испытания триггеров JK и D (рисунок 12.10) по заданию преподавателя. В схему включены: генератор XWG1 (частота $f_c = 500$ к Γ ц); логический анализатор XLA1.

На $1\overline{\text{CLR}}$ - и $1\overline{\text{PR}}$ -входы триггеров подается постоянное напряжение 5 В (имитирующее сигнал 1) источника VCC, а на 1CLK-входы триггеров и на вход 1 анализатора XLA1 поступают тактовые импульсы с амплитудой 5 В и частотой 500 кГц, сформированные генератором E1. С выходов 1 и 2 генератора XWG1 сигналы подаются на управляющие входы 1J и 1К JK-триггера, с выхода 3 — на вход 1D D-триггера.

В качестве примера введем в первые шесть ячеек памяти генератора трехразрядные кодовые комбинации (рисунок 12.11): 010, 100, 111, 001, 100, 010.

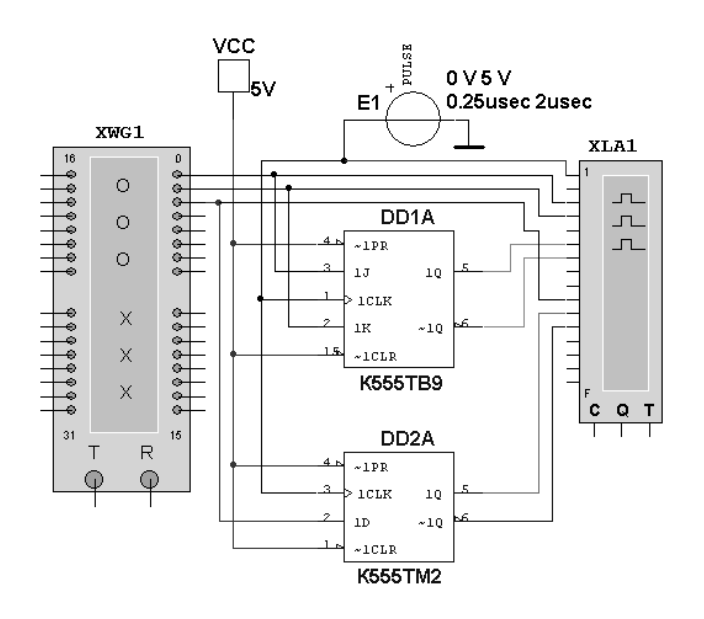


Рисунок 12.10 – Схема для исследования *JK*- и *D*-триггеров

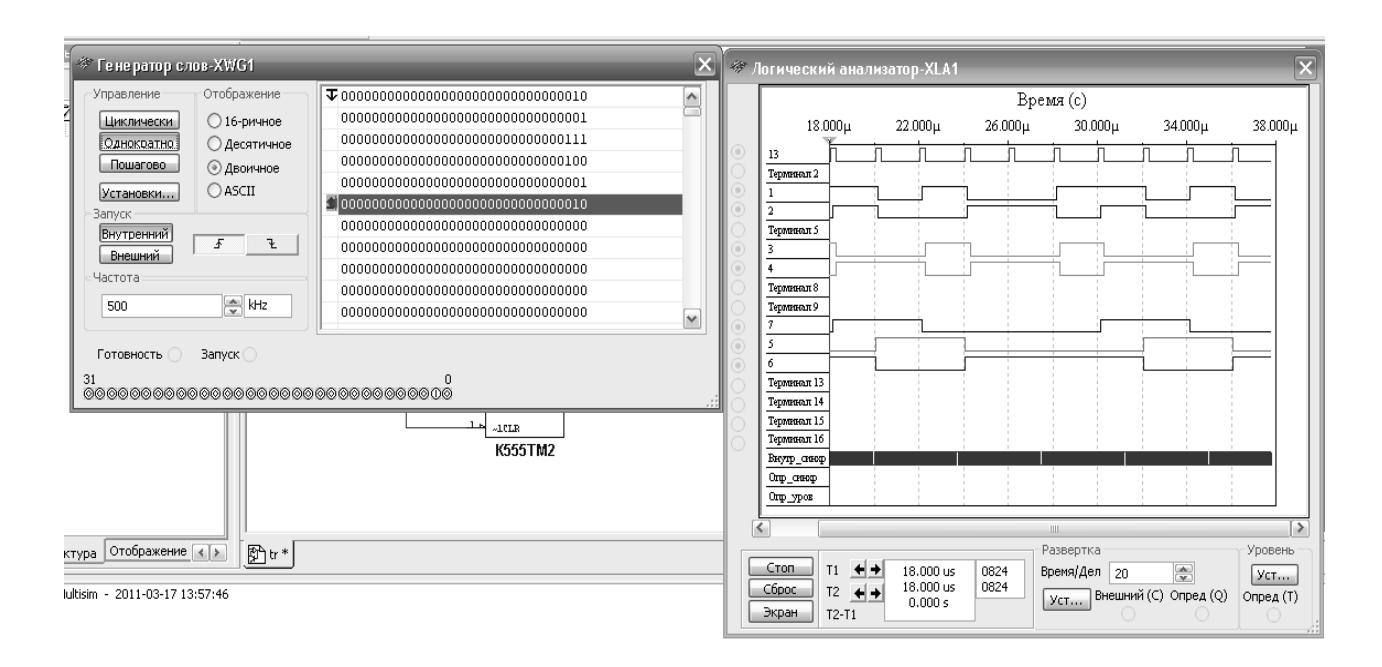


Рисунок 12.11 – Цифровые комбинации и временные диаграммы триггеров

- 12.2.5 Провести моделирование работы триггеров, по временным диаграммам составить и заполнить для них таблицы истинности.
 - 12.2.6 Сделать выводы по результатам работы.

Содержание отчета

Отчет по работе должен содержать цель работы, схемы для моделирования работы логических элементов и триггеров в среде Multisim, выводы по работе.

Контрольные вопросы

- 1 Назовите основные логические операции и приведите их таблицы истинности.
- 2 Что такое триггер?
- 3 Чем отличается синхронный триггер от несинхронного?
- 4 Что обозначают понятия «логический ноль» и «логическая единица»?

Список литературы

- 1 **Марченко, А. Л.** Электротехника и электроника: учебник / А. Л. Марченко. М. : ИНФРА-М, 2015. 574 с.
- 2 **Гальперин, М. В.** Электротехника и электроника: учебник / М. В. Гальперин. -2-е изд. М. : ФОРУМ; ИНФРА-М, 2017. 480 с.
- 3 **Жаворонков, М. А.** Электротехника и электроника: учеб. пособие / М. А. Жаворонков, А. В. Кузин. М.: Академия, 2013. 400 с.
- 4 **Кузовкин, В. А.** Схемотехническое моделирование электрических устройств в Multisim: учеб. пособие / В. А. Кузовкин, В. В. Филатов. Старый Оскол: ТНТ, 2017. 336 с.